



---

# MOLONARI

rapport de projet

*sur l'estimation de paramètres thermo-hydrologiques des échanges nappe-rivière*

---

Tous mes remerciements à mes encadrants Nicolas Flipo et Thomas Romary,  
enseignants-chercheurs au centre de géosciences des Mines de Paris.

Dan MAUREL

27 décembre 2023

# Table des matières

|          |   |           |
|----------|---|-----------|
| <b>1</b> | <b>Stratégies d'estimation des paramètres physiques</b>                         | <b>2</b>  |
| 1.1      | Problématisation . . . . .  | 2         |
| 1.1.1    | Équations physique : échanges thermiques advecto-conductifs . . . . .           | 2         |
| 1.1.2    | Problématique . . . . .   | 2         |
| 1.2      | Détermination de $(\alpha, \kappa, D)$ par une méthode différentielle . . . . . | 2         |
| 1.2.1    | Une condition de déterminabilité . . . . .                                      | 2         |
| 1.2.2    | La méthode différentielle . . . . .   | 2         |
| 1.2.3    | Limitations pratiques . . . . .   | 3         |
| 1.3      | Méthode d'estimation probabiliste . . . . .                                     | 3         |
| 1.3.1    | Approche bayésienne et méthode MCMC . . . . .                                   | 3         |
| 1.3.2    | Principes de génération d'un déplacement élémentaire stochastique . . . . .     | 4         |
| 1.3.3    | Énergie d'un état . . . . .   | 4         |
| 1.3.4    | Probabilité d'acceptation . . . . .   | 4         |
| 1.3.5    | Proposition stochastique : méthode à état courant délocalisé . . . . .          | 5         |
| <b>2</b> | <b>Modèle physique</b>  | <b>7</b>  |
| 2.1      | Modèle physique simplifié . . . . .   | 7         |
| 2.1.1    | Hypothèses . . . . .  | 8         |
| 2.1.2    | Échantillonnage spatial . . . . .   | 8         |
| 2.1.3    | Échantillonnage temporel . . . . .  | 9         |
| 2.1.4    | Exemple d'échantillonnage admissible . . . . .                                  | 9         |
| 2.1.5    | Temps de propagation sur une épaisseur . . . . .                                | 9         |
| 2.1.6    | Lien entre $(\kappa, D)$ et $(a, b, P)$ . . . . .                               | 10        |
| 2.2      | Discretisation des équations avec volumes finis . . . . .                       | 10        |
| 2.2.1    | Discretisation à partir des bilans de conservation . . . . .                    | 10        |
| 2.2.2    | Formulation tridiagonale . . . . .  | 11        |
| 2.2.3    | Couplage avec l'équation hydraulique . . . . .                                  | 11        |
| 2.2.4    | Décomposition $U - V$ . . . . .   | 12        |
| 2.2.5    | Récapitulatif pratique (facilitant le recours massif au slicing) . . . . .      | 12        |
| 2.3      | Résolution numérique . . . . .  | 13        |
| 2.3.1    | Résolutions séparées . . . . .  | 13        |
| 2.3.2    | Résolutions simultanées . . . . .   | 13        |
| 2.3.3    | Tests numériques . . . . .  | 13        |
| 2.4      | Conditions limites hydrauliques . . . . .                                       | 14        |
| 2.4.1    | Méthode de régression pour l'estimation de $H_z$ . . . . .                      | 14        |
| 2.4.2    | Méthode d'obtention des conditions limites . . . . .                            | 15        |
| <b>3</b> | <b>Implémentation : MCMC avec modèle direct</b>                                 | <b>15</b> |
| 3.1      | Choix de cython . . . . .   | 15        |
| 3.2      | Test en régime permanent . . . . .  | 16        |
| 3.3      | Conclusion . . . . .  | 17        |
| <b>4</b> | <b>Codes en annexe</b>  | <b>18</b> |
| 4.1      | cython : programmes avancés . . . . .   | 18        |
| 4.1.1    | code du module cython à compiler (MOLO_45.pyx) . . . . .                        | 18        |
| 4.1.2    | setup file (MOLO_45_setup.py) . . . . .   | 43        |
| 4.1.3    | code de test du StratifiedModel (MOLO_45_test_SM.py) . . . . .                  | 43        |
| 4.1.4    | code de test MCMC (MOLO_45_test_MCMC.py) . . . . .                              | 44        |
| 4.2      | python : premiers programmes . . . . .  | 46        |
| 4.2.1    | modèle physique avec slicing numpy (M_slicing_python.py) . . . . .              | 46        |
| 4.2.2    | MCMC (MCMC_python.py) . . . . .   | 52        |

# 1 Stratégies d'estimation des paramètres physiques

## 1.1 Problématisation

### 1.1.1 Équations physique : échanges thermiques advecto-conductifs

La conservation de l'énergie thermique s'écrit

$$c_m \rho_m \frac{\partial \theta}{\partial t} + \operatorname{div}(\vec{\phi}) = 0$$

avec  $\vec{\phi}$  le flux surfacique thermique instantané. Par la loi de Darcy et la loi de Fourier,

$$\vec{\phi} = -c_w \rho_w K \operatorname{grad}(H) \theta - \lambda_m \operatorname{grad}(\theta)$$

En 1D, l'équation thermique est

$$c_m \rho_m \frac{\partial \theta}{\partial t} = c_w \rho_w \left( K \frac{\partial^2 H}{\partial z^2} + \frac{dK}{dz} \frac{\partial H}{\partial z} \right) \theta + \left( \rho_w c_w K \frac{\partial H}{\partial z} + \frac{d\lambda_m}{dz} \right) \frac{\partial \theta}{\partial z} + \lambda_m \frac{\partial^2 \theta}{\partial z^2} \quad (1)$$

En 1D, l'équation de diffusion hydraulique s'énonce

$$S \frac{\partial H}{\partial t} = \frac{dK}{dz} \frac{\partial H}{\partial z} + K \frac{\partial^2 H}{\partial z^2} \quad (2)$$

Les deux équations se mettent sous la forme

$$y_t = \alpha(z)y + \kappa(z)y_z + D(z)y_{zz}$$

### 1.1.2 Problématique

Dans la continuité de [1], un objectif du projet MOLONARI consiste en l'estimation des paramètres physiques du sous-sol présents dans les équations (1) et (2) à partir des mesures en température et en charge hydraulique.

## 1.2 Détermination de $(\alpha, \kappa, D)$ par une méthode différentielle

Il est possible de déterminer localement  $(\alpha, \kappa, D)$  à partir d'une solution  $\theta$  à (1) lorsqu'il y a des variations de  $\theta$ ,  $\theta_z$  et  $\theta_{zz}$  suffisamment indépendantes.

### 1.2.1 Une condition de déterminabilité

Supposons chercher à déterminer  $(\alpha, \kappa, D)$  pour une profondeur  $z$  fixée. S'il existe des temps  $t_1, t_2$

et  $t_3$  tels que les  $v(z, t_i) = \begin{bmatrix} \theta(z, t_i) & \frac{\partial \theta}{\partial z}(z, t_i) & \frac{\partial^2 \theta}{\partial z^2}(z, t_i) \end{bmatrix}$  soient non-colinéaires, alors

$$\begin{pmatrix} \alpha(z) \\ \kappa(z) \\ D(z) \end{pmatrix} = \begin{bmatrix} v(z, t_1) \\ v(z, t_2) \\ v(z, t_3) \end{bmatrix}^{-1} \begin{pmatrix} \theta_t(z, t_1) \\ \theta_t(z, t_2) \\ \theta_t(z, t_3) \end{pmatrix} \quad (3)$$

D'un point de vue physique, cette condition revient à considérer un système évoluant de manière suffisamment variée. En particulier, ceci exclut un cas de régime permanent.

### 1.2.2 La méthode différentielle

Si nous disposons d'estimations  $(v(z, t_i))_{i \in [1:N]}$  ainsi que  $(\theta_t(z, t_i))_{i \in [1:N]}$ , nous pouvons chercher à résoudre le problème de minimisation

$$\min_{\alpha(z), \kappa(z), D(z)} \left\| \begin{pmatrix} v(z, t_1) \\ \vdots \\ v(z, t_N) \end{pmatrix} \begin{pmatrix} \alpha(z) \\ \kappa(z) \\ D(z) \end{pmatrix} - \begin{pmatrix} \theta_t(z, t_1) \\ \vdots \\ \theta_t(z, t_N) \end{pmatrix} \right\|^2$$

en incluant possiblement des contraintes physiques sur  $(\alpha(z), \kappa(z), D(z))$ .

### 1.2.3 Limitations pratiques

Avec la méthode différentielle il faut être capable d'obtenir des estimations satisfaisantes de  $\theta_t$ ,  $\theta$ ,  $\theta_z$  et  $\theta_{zz}$  : les trois dernières grandeurs sont particulièrement importantes car l'inversion (3) ne propage pas les erreurs de manière linéaire.

Le calcul des dérivées temporelles paraît facile à implémenter car il suffirait de choisir la fréquence d'échantillonnage adéquate. Un jour étant probablement le plus petit temps caractéristique de variation thermique, nous nous attendons à avoir en moyenne des  $\theta_t$  faibles devant les écart-types induits par les erreurs de mesure.

Quant à  $\theta$ ,  $\theta_z$  et  $\theta_{zz}$ , ils nécessitent des mesures avec une bonne résolution spatiale, ce qui est potentiellement limité par notre capacité à déployer un grand nombre de capteurs sur une petite distance. Sans une résolution spatiale adéquate, des estimateurs de dérivées première et seconde comme  $\frac{T_{i+1}-T_i}{dz}$  ou  $\frac{T_{i+1}+T_{i-1}-2T_i}{dz^2}$  auront probablement des biais systématiques difficiles à corriger, en plus d'un bruitage lié aux erreurs de mesures. Ce sont ces biais systématiques qui rendent probablement non-pertinente la méthode différentielle lorsque la densité spatiale de capteurs est insuffisante.

## 1.3 Méthode d'estimation probabiliste

S'il est généralement envisageable de calculer  $(\alpha, \kappa, D)$  à partir d'une solution  $\theta$  de (1), ce n'est pas toujours le cas pour des sous-paramètres intervenant dans les expressions de  $\alpha$ ,  $\kappa$  et  $D$ . Par exemple, en milieu homogène avec  $H$  en régime permanent (donc  $\alpha = 0$ ), pour l'équation (1) il existe typiquement une infinité de manières de choisir  $(\rho_m c_m, \lambda_m, K, H_z)$  afin d'obtenir  $(\kappa_0, D_0)$  et donc une solution  $y_0$  fixée. Si l'on veut savoir quels jeux de sous-paramètres sont les plus pertinents, il nous faut alors quantifier cette pertinence, ce qui peut-être fait par l'introduction de densités probabilistes sur les sous-paramètres qualifiées d'a priori.

### 1.3.1 Approche bayésienne et méthode MCMC

Nous supposons disposer d'un modèle physique tel qu'en se donnant des paramètres du milieu  $X$ , nous pouvons par résolution numérique calculer des grandeurs  $Y = F(X)$  (au delà d'un temps d'amortissement des erreurs en les conditions initiales lorsque ces dernières sont mal connues). Typiquement  $Y$  consiste ici en des températures à  $(z, t)$  fixés. Nous disposons par ailleurs de mesures réelles  $Y_{\text{meas}}$  de ces grandeurs. Si nous supposons que  $Y_{\text{meas}} = Y + \varepsilon$  avec  $\varepsilon$  une erreur aléatoire de densité estimée  $f_\varepsilon$  indépendante de  $Y$  (si des paramètres de la loi de  $\varepsilon$  sont inconnus, nous pouvons les ajouter aux paramètres  $X$ ), alors

$$f_{X|Y_{\text{meas}}} = \frac{f_{Y_{\text{meas}}|X} f_X}{f_{Y_{\text{meas}}}}$$

donc

$$f_{X|Y_{\text{meas}}=y_{\text{meas}}} \propto f_{F(X)+\varepsilon|X} f_X$$

Afin d'estimer la distribution probabiliste de  $(X|Y_{\text{meas}} = y_{\text{meas}})$ , nous supposons connue la densité a priori  $f_X$  ainsi que  $f_{F(X)+\varepsilon|X} = f_{\varepsilon=y_{\text{meas}}-F(X)} = f_\varepsilon(y_{\text{meas}} - F(X))$ . Il reste par exemple à calculer le coefficient de proportionnalité afin de mieux connaître  $f_{X|Y_{\text{meas}}=y_{\text{meas}}}$ . Nous pouvons essayer de calculer numériquement  $\int f_{\varepsilon=y_{\text{meas}}-F(X)} f_X dX$  mais cette approche est peu adaptée à un domaine d'intégration  $\mathcal{D}$  trop vaste.

Si l'on suppose que la distribution probabiliste cible  $f_{X|Y_{\text{meas}}=y_{\text{meas}}}$  est concentrée en quelques îlots entourés d'espace où la densité y est quasiment nulle, une idée consiste à limiter notre espace de travail à ces zones d'importance. Il faut donc procéder à une exploration de  $\mathcal{D}$  avec essentiellement pour seul outil la possibilité d'évaluer ponctuellement  $f_{\varepsilon=y_{\text{meas}}-F(X)} f_X$ . Pour se déplacer dans ce domaine sans avoir de connaissances a priori sur  $f_{\varepsilon=y_{\text{meas}}-F(X)} f_X$ , il paraît nécessaire de faire appel à une marche aléatoire. Il faut dans ce cas trouver la bonne règle stochastique prenant en compte la pseudo-densité  $f_{\varepsilon=y_{\text{meas}}-F(X)} f_X$  afin de cibler les régions d'intérêt, mais assurant également une recherche suffisamment exhaustive.

A partir d'une marche aléatoire bien pensée (\*), il est alors envisageable d'estimer directement la distribution en jeu. Idéalement, au delà d'un certain temps après l'initialisation, le marcheur aléatoire

devrait avoir parcouru les zones d'importance tout en ayant perdu la mémoire de son origine et la probabilité qu'il soit présent en un voisinage  $\mathcal{V}_{X_0}$  devrait être proportionnelle à  $\int_{\mathcal{V}_{X_0}} f_{\varepsilon=y_{\text{meas}}-F(X)} f_X dX$  : il suffit en pratique de calculer sa fréquence de présence en  $\mathcal{V}_{X_0}$  pour estimer cette probabilité.

(\*) Une telle marche aléatoire existe : nous allons utiliser la méthode de Métropolis-Hasting qui admet les propriétés escomptées, notamment l'estimation d'une probabilité à partir d'une fréquence de passage.

### 1.3.2 Principes de génération d'un déplacement élémentaire stochastique

Pour générer le prochain pas d'un marcheur aléatoire, il est possible de procéder en deux étapes :

- (i) proposer un déplacement élémentaire selon un processus stochastique.
- (ii) décider d'accepter la proposition avec une probabilité calculée à la volée.

La proposition doit être suffisamment indépendante de l'histoire passée du marcheur pour amener à l'exploration de régions non-visitées. La probabilité d'acceptation doit quant à elle prendre en compte  $f_{\varepsilon=y_{\text{meas}}-F(X)} f_X$  afin de favoriser les régions les plus prometteuses.

Les objets nécessaires à l'étape (i) sont donc le passé  $\mathcal{P}$  du marcheur et un générateur aléatoire  $G$  tel que  $\text{Prop} = G(\mathcal{P})$  soit une proposition de déplacement. Pour l'étape (ii), il faut le passé  $\mathcal{P}$ , une proposition  $\text{Prop}$ , la fonction  $f_{\varepsilon=y_{\text{meas}}-F(X)} f_X$ , une fonction de calcul de probabilité d'acceptation  $A : \mathcal{P}, \text{Prop}, f \mapsto [0, 1]$  et un générateur de réels tirés dans  $[0, 1]$  selon une loi uniforme. Le passé  $\mathcal{P}$  du marcheur regroupe à un instant donné tous les états des itérations précédentes.

### 1.3.3 Énergie d'un état

Nous postulons une erreur de mesure gaussienne  $\epsilon$ , invariante dans le temps et centrée. Dans le cas iid, la densité non-normalisée est

$$f_{\varepsilon=y_{\text{meas}}-F(X)} f_X = \exp \left( -\frac{\|y_{\text{meas}} - F(X)\|^2}{2\sigma^2} \right) f_X$$

en supposant connu l'écart-type  $\sigma$  de  $\epsilon$ . Dans le cas où  $\sigma$  est lui-même un paramètre inconnu, il faut sortir le facteur  $1/\sigma^n$  de la constance de normalisation implicite dans l'écriture  $\propto$  car cette dernière ne doit pas dépendre des paramètres inconnus :

$$f_{\varepsilon=y_{\text{meas}}-F(X)} f_X = \sigma^{-n} \exp \left( -\frac{\|y_{\text{meas}} - F(X)\|^2}{2\sigma^2} \right) f_X$$

Nous pouvons réunir les deux cas précédents en posant

$$\pi_X = f_{\varepsilon=y_{\text{meas}}-F(X)} f_X = \exp(-\mathcal{E}(X))$$

avec  $\mathcal{E}(X)$  l'énergie associée aux paramètres inconnus  $X$ . Ce formalisme est d'ailleurs compatible avec un cas plus général en posant simplement  $\mathcal{E}(X) = -\ln(f_{\varepsilon=y_{\text{meas}}-F(X)} f_X)$ .

### 1.3.4 Probabilité d'acceptation

#### 1.3.4.1 Acceptation de Metropolis-Hasting

En notant  $q(X_0 \rightarrow X_1)$  la probabilité de proposer un état  $X_1$  depuis  $X_0$ , la méthode de Metropolis-Hasting pour construire la probabilité d'acceptation de  $X_1$  consiste en

$$\min \left( 1, \frac{\pi(X_1) q(X_1 \rightarrow X_0)}{\pi(X_0) q(X_0 \rightarrow X_1)} \right)$$

Dans le cas usuel symétrique (dit à incrément symétrique), l'expression se simplifie en

$$\min \left( 1, \frac{\pi(X_1)}{\pi(X_0)} \right)$$

et avec l'énergie, l'équation devient

$$\min \left( 1, \exp(\mathcal{E}(X_0) - \mathcal{E}(X_1)) \frac{f(X_1)}{f(X_0)} \right)$$

### 1.3.4.2 Lois a priori uniformes

Pour un système physique inconnu, il est courant de ne pouvoir donner que des intervalles a priori  $\mathcal{S}$  pour les paramètres inconnus, ce qui revient à considérer une densité  $f_X$  uniforme de support  $\mathcal{S}$ . Dans ce cas particulier, l'expression de la probabilité d'acceptation se simplifie en

$$A(X_0, X_1) = \begin{cases} 0 & \text{if } X_1 \notin \mathcal{S} \\ 1 & \text{elif } \mathcal{E}(X_1) \leq \mathcal{E}(X_0) \\ \exp(\mathcal{E}(X_0) - \mathcal{E}(X_1)) & \text{else} \end{cases}$$

Autrement dit, la marche aléatoire s'effectue sur  $\mathcal{S}$  et un nouvel état proposé  $X_1 \in \mathcal{S}$  est nécessairement accepté s'il diminue l'énergie courante, sinon sa probabilité d'acceptation décroît exponentiellement avec  $|\mathcal{E}(X_0) - \mathcal{E}(X_1)|$ .

### 1.3.5 Proposition stochastique : méthode à état courant délocalisé

La méthode la plus simple consiste à proposer un nouvel état  $X_1$  à partir d'une distribution probabiliste unimodale centrée en l'état courant  $X_0$ . Le problème de cette approche est qu'elle favorise un cantonnement du marcheur aléatoire à un maximum local de  $f_{X|Y_{\text{meas}}=y_{\text{meas}}}$ . Une idée consiste alors à délocaliser l'état courant afin de permettre l'exploration de plusieurs maxima : dit autrement, il n'y a plus un seul mais plusieurs états courants depuis lesquels le marcheur aléatoire peut partir. Une autre manière de voir les choses consiste à dire qu'il y a plusieurs marcheurs aléatoires, ou encore plusieurs chaînes de Markov, bien que cela puisse faire perdre de vue la propriété markovienne.

La situation où nous considérons un état courant délocalisé  $\mathcal{X}(t) = (X_1, \dots, X_N)$  à l'itération  $t$  est bien compatible avec le formalisme antérieur de marche aléatoire en considérant désormais comme densité cible la densité produit

$$f_{\mathcal{X}|Y_{\text{meas}}^n=(y_{\text{meas}}, \dots, y_{\text{meas}})} : \mathcal{X} \mapsto \prod_{i=1}^n f_{X_i|Y_{\text{meas}}=y_{\text{meas}}}$$

avec une fonction de modèle direct qui est alors

$$\tilde{F} : \mathcal{X} \mapsto \begin{pmatrix} F(X_1) \\ \vdots \\ F(X_n) \end{pmatrix}$$

ce qui permet d'obtenir une sympathique expression pour l'énergie, dans le cas usuel où les  $\varepsilon_i$  sont gaussiennes iid :

$$\mathcal{E}(\mathcal{X}) = \sum_{i=1}^n \mathcal{E}(X_i)$$

Pour utiliser au mieux l'état délocalisé il paraît pertinent de proposer  $\mathcal{X}(t+1)$  en faisant intervenir des termes  $X_j(t)$  dans la génération de  $X_i(t+1)$  : c'est justement ce qui est fait dans la méthode Differential Evolution and Adaptive Markov-chainS (DREAMS) (par exemple présenté dans [2]).

#### 1.3.5.1 Méthode DREAMS

La proposition d'un nouvel état  $\mathcal{X}(t+1)$  est constituée de  $N-1$  sous-états précédents et d'une proposition d'un nouveau sous-état  $X_i(t+1)$  avec  $i$  parcourant le cycle  $\llbracket 1; N \rrbracket$  au cours des propositions successives. En supposant que la méthode de proposition est symétrique, la probabilité d'acceptation se résume à

$$A(\mathcal{X}(t), \mathcal{X}(t+1)) = \begin{cases} 0 & \text{if } X_i(t+1) \notin \mathcal{S} \\ 1 & \text{elif } \mathcal{E}(X_i(t+1)) \leq \mathcal{E}(X_i(t)) \\ \exp(\mathcal{E}(X_i(t)) - \mathcal{E}(X_i(t+1))) & \text{else} \end{cases}$$

La proposition de  $X_{i+1}(t+1)$  est générée par une variation élémentaire  $dX_i$  telle que

$$\begin{cases} dX_{i,\bar{I}} &= 0 \\ dX_{i,I} &= \alpha_I + \beta_I \sum_{(k,\ell) \in P} (X_{k,I} - X_{\ell,I}) \end{cases}$$

où les variables aléatoires sont

|            |   |
|------------|---|
| $I$        | un sous-ensemble de $\llbracket 1; d \rrbracket$ avec $d$ la dimension de $X_i$ |
| $\alpha_I$ | une variable de saut  |
| $\beta_I$  | une variable d'interaction  |
| $P$        | un ensemble de couples d'indices distincts de $\llbracket 1; N \rrbracket$      |

L'ensemble  $I$  est construit :

- en tirant au hasard  $m$  parmi  $\llbracket 1, d \rrbracket$  selon des probabilités  $p_{1 \leq i \leq d}$ .
- puis en tirant uniformément  $d$  entiers  $s_i$  dans  $\llbracket 1, d \rrbracket$  tels que si  $s_i \leq m$  alors  $i$  est ajouté à  $I$ . Dans le cas où  $I$  est resté vide, on tire uniformément  $i \in \llbracket 1, d \rrbracket$  et l'on pose  $I = \{i\}$ .

Afin de favoriser les déplacements stochastiques admettant un bon taux d'acceptation, nous pouvons initialiser les  $p_i$  à  $1/d$  puis une fois la phase de "burn-in" finie, poser

$$p_i = \frac{\sum_{t=0}^b \|dX(t)\|_{\delta_{m=i}}}{\sum_{t=0}^b \|dX(t)\|}$$

L'ensemble  $P$  est généré en tirant de manière équiprobable  $|P|$  couples de sous-états d'indices dans  $\llbracket 1; N \rrbracket \setminus \{i\}$  et finalement

$$\alpha_I \sim \mathcal{N}(0, cI_{|I|}) \quad \beta \sim \mathcal{U}^{|I|} \left( \gamma \frac{1-c}{\sqrt{|P||I|}}, \gamma \frac{1+c}{\sqrt{|P||I|}} \right)$$

avec  $c$  et  $\gamma$  des paramètres fixés.

Le mode de génération d'une proposition de nouvel état consiste à modifier  $X_i(t)$  en utilisant les autres sous-états  $X_{j \neq i}(t)$ , lesquels sont copiés dans l'état  $\mathcal{X}(t+1)$ . Implicitement la densité  $q$  devrait prendre en compte le temps auquel s'effectue une proposition  $\mathcal{X}_0 \rightarrow \mathcal{X}_1$ , ce qui revient rigoureusement à considérer plutôt :

- $\bar{\mathcal{X}} = (\mathcal{X}, t)$  comme état
- $\bar{q}(\bar{\mathcal{X}}_0 \rightarrow \bar{\mathcal{X}}_1) = q(\mathcal{X}_0 \xrightarrow{r(\min(t_0, t_1), N)} \mathcal{X}_1) \delta((t_0 - t_1)^2 - 1)$  comme densité de transition

$r = r(\min(t_0, t_1), N)$  est le reste euclidien indiquant le numéro du sous-état cible  $X_r$  modifié par la proposition. Ainsi définie,  $\bar{q}$  est symétrique, ce qui montre que DREAMS est une forme particulière de méthode de Metropolis-Hasting à incrément symétrique et justifie l'expression de la probabilité d'acceptation donnée plus tôt.

### 1.3.5.2 Test sur une densité bimodale

Nous considérons une distribution cible bimodale, ie comportant deux maxima.

| argument          | nom                              | choix pour le test                                       |
|-------------------|----------------------------------|--|
| $F$               | modèle                           | $x \mapsto x^2$  |
| $y_{\text{meas}}$ | mesure                           | $1+\epsilon$ avec $\epsilon \sim \mathcal{N}(0, \sigma)$ |
| $D$               | domaine d'exploration a priori   | $[-2, 2]$  |
| $\sigma$          | erreur caractéristique de mesure | 0.1  |

Avec une implémentation python de DREAMS, nous obtenons bien une densité bimodale recherchée, avec deux pics centrés en -1 et 1 :

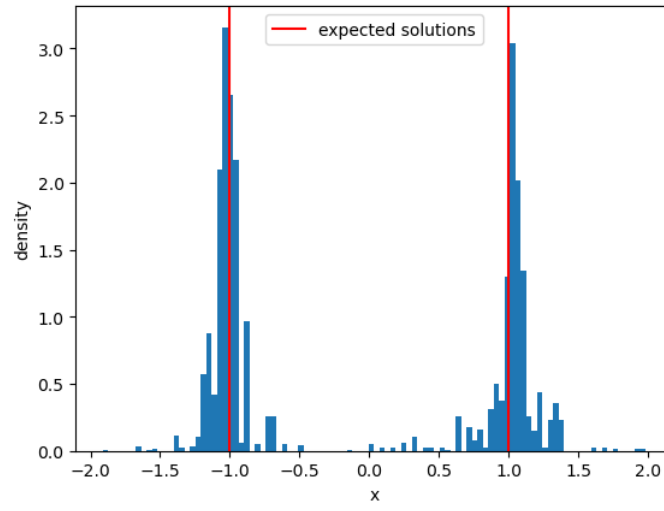


FIGURE 1 – test DREAMS sur densité a posteriori bimodale

### 1.3.5.3 Critère de Gelman-Rubin

A l'initialisation de la marche aléatoire fait suite une phase dit de "burn-in" pendant laquelle le marcheur découvre progressivement les régions d'importance de la distribution probabiliste. Ce n'est qu'une fois cette phase passée que le comportement du marcheur traduit correctement la connaissance acquise sur la densité cible. Dans DREAMS, une estimation de la fin du "burn-in" peut s'effectuer avec le critère de Gelman-Rubin. L'idée consiste à comparer les variances intra et inter chaînes : nous nous attendons à ce que ces dernières se stabilisent à des échelles différentes, typiquement une variance de paramètre intra-chaîne devrait être plus faible qu'une variance de paramètre inter-chaînes car l'espace exploré par une chaîne (ou sous-état) devrait être plus petit que celui exploré par l'ensemble des chaînes (ou sous-états). En pratique, nous calculons pour chaque paramètre  $k$  les variances

$$V_{k,intra} = \frac{2}{NT} \sum_{i=1}^N \sum_{t=\lfloor T/2 \rfloor}^T (X_{i,k}(t) - \overline{X_{i,k}}^t)^2$$

$$V_{k,inter} = \frac{1}{N} \sum_{i=1}^N (\overline{X_{i,k}}^t - (\overline{X}^{t,i})_k)^2$$

avec  $\overline{X_{i,k}}^t$  la moyenne empirique en temps sur  $\llbracket \lfloor T/2 \rfloor, T \rrbracket$ , et  $\overline{X}^{t,i}$  la moyenne empirique de  $\overline{X_{i,k}}^t$  sur les sous-états  $\{1, \dots, N\}$ . Un indicateur de fin de "burn-in" est alors

$$R_k = \sqrt{1 + \frac{V_{k,intra}}{V_{k,inter}}}$$

et cette fin est usuellement considérée comme atteinte lorsque les  $R_k$  sont suffisamment petits. Le choix de  $\lfloor T/2 \rfloor$  plutôt que 0 est généralement utilisé afin de limiter l'influence des premières itérations non-pertinentes pour mesurer une propriété asymptotique.

## 2 Modèle physique

Afin d'utiliser une méthode MCMC, nous devons disposer d'un modèle physique et des méthodes numériques appropriées pour calculer  $F(X)$ . Les équations fondamentales du modèle physique ont déjà été présentées, il reste donc à proposer une méthode de résolution de ces équations.

### 2.1 Modèle physique simplifié

Il est intéressant de considérer les équations (1) et (2) sous des hypothèse simplificatrices, permettant par exemple d'obtenir une solution analytique  $\theta$ . Avec ce modèle simplifié, nous pouvons :



- proposer des critères d'échantillonnage spatiaux et temporels afin de pouvoir reconstituer  $\theta$  efficacement à partir des mesures.
- estimer le temps de propagation des conditions limites dans le milieu.
- comparer les résultats des méthodes de résolution numérique aux solutions analytiques du modèle simplifié.
- interpréter des observations physiques.
- tenter d'estimer  $\kappa$  et  $D$  à partir des mesures en supposant les hypothèses simplificatrices vérifiées (dans ce modèle simplifié nous avons  $\alpha = 0$ ).

### 2.1.1 Hypothèses

Nous considérons qu'en profondeur la température est constante, alors qu'en surface la température suit des variations journalières et annuelles. La charge hydraulique est en régime permanent. Nous supposons que les variations surfaciques en température se propagent dans un milieu homogène sous la forme d'une superposition de deux ondes thermiques (voir [3]) :

$$\theta(z, t) = \theta_{surf} + \theta_1 e^{-a_1 z} \cos\left(\frac{2\pi}{P_1} t - b_1 z\right) + \theta_2 e^{-a_2 z} \cos\left(\frac{2\pi}{P_2} t - b_2 z\right)$$

avec

- $a = \frac{1}{2D} \left( \sqrt{\frac{\sqrt{\kappa^4 + (8\pi D/P)^2} + \kappa^2}{2}} + \kappa \right)$
- $b = \frac{1}{2D} \sqrt{\frac{\sqrt{\kappa^4 + (8\pi D/P)^2} - \kappa^2}{2}}$
- $P_1 = 1$  an et  $P_2 = 1$  jour

Pour plus de fidélité, nous pourrions prendre en compte une évolution de  $\theta_2$  au cours de l'année. Nous pourrions également ajouter un déphasage entre l'excitation journalière et annuelle, ou encore un écart entre la température moyenne de surface et la température moyenne en profondeur.

Pour une profondeur  $z$  fixée, à partir de la mesure de  $t \mapsto \theta(z, t)$  il théoriquement possible de dissocier les contributions annuelle et journalière à l'aide d'une méthode de Fourier. Nous pouvons donc nous ramener à des études séparées des signaux

$$\begin{cases} \theta_1(z, t) &= \theta_{surf} + \theta_1 e^{-a_1 z} \cos\left(\frac{2\pi}{P_1} t - b_1 z\right) \\ \theta_2(z, t) &= \theta_2 e^{-a_2 z} \cos\left(\frac{2\pi}{P_2} t - b_2 z\right) \end{cases}$$

### 2.1.2 Échantillonnage spatial

Nous supposons disposer de capteurs consécutivement positionnés à des profondeurs  $z_1, \dots, z_N$ , avec une incertitude  $\sigma$  sur les mesures.

#### 2.1.2.1 Enveloppe exponentielle

Pour quantifier la décroissance exponentielle entre deux capteurs consécutifs  $i$  et  $i+1$ , nous voulons typiquement que

$$\theta(e^{-az_i} - e^{-az_{i+1}}) > \sigma$$

ce qui est équivalent à

$$\begin{cases} \theta e^{-az_i} > \sigma \\ -\frac{1}{a} \ln\left(1 - \frac{\sigma}{\theta} e^{az_i}\right) < z_{i+1} - z_i \end{cases}$$

### 2.1.2.2 Périodicité spatiale

Pour estimer la périodicité spatiale, nous devons respecter le critère de Shanon en ayant plus de deux mesures par période, c'est à dire

$$z_{i+1} - z_i < \frac{2\pi}{b}$$

### 2.1.3 Échantillonnage temporel

Nous supposons disposer de mesures à des temps consécutifs  $t_1, \dots, t_M$ . Pour estimer la périodicité temporelle, il nous faut respecter encore une fois le critère de Shanon :

$$t_{i+1} - t_i < P$$

### 2.1.4 Exemple d'échantillonnage admissible

Pour  $\theta_1 = 15^\circ\text{C}$ ,  $\theta_2 = 3^\circ\text{C}$ ,  $\lambda_m = 3 \text{ W} \cdot \text{m}^{-2}$ ,  $c_m \rho_m = c_w \rho_w = 4 \times 10^6 \text{ J} \cdot \text{K}^{-1} \cdot \text{m}^{-3}$ ,  $H_z = -\frac{0.05}{0.4}$  (cas infiltrant) et  $\sigma = 0.1 \text{ K}$ , nous obtenons les figures 2 et 3.

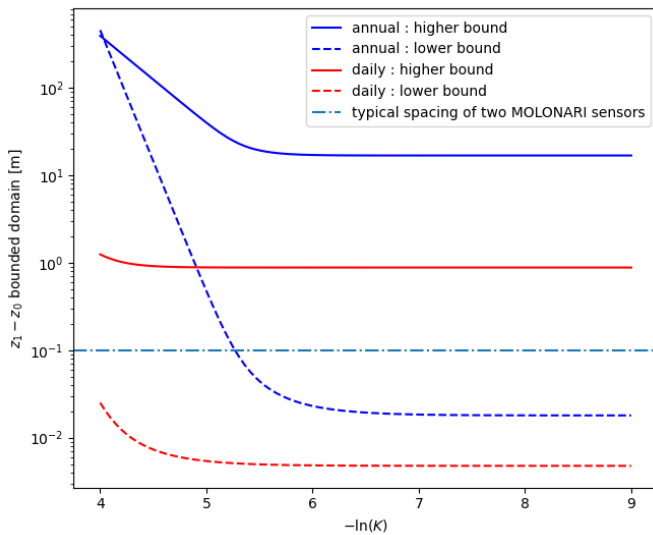


FIGURE 2 –  $z_1 - z_0$  admissible

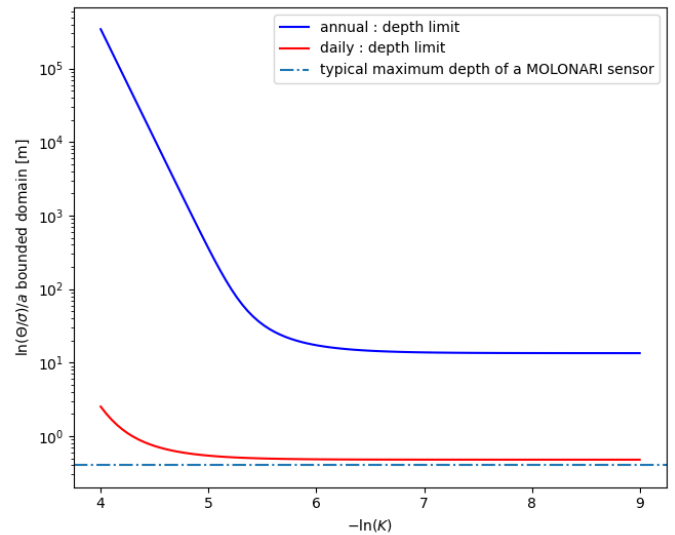


FIGURE 3 – profondeur limite  $z$  telle que  $\theta e^{-az} = \sigma$

En particulier l'espacement typique de deux capteurs MOLONARI consécutifs vaut 10 cm et la profondeur maximale 40 cm. Pour les valeurs indiquées, un espacement des capteurs de 10 cm sur 40 cm paraît acceptable pour la contribution journalière, mais pour la contribution annuelle, une valeur de  $-\ln(K)$  inférieure à 5 n'est a priori pas suffisante pour quantifier l'évolution de  $z \mapsto \theta_1(z, t)$  sur 40 cm.

### 2.1.5 Temps de propagation sur une épaisseur

Un pic d'onde thermique sert de marqueur spatial de la perturbation et ainsi le temps que met le premier pic à atteindre la profondeur  $\ell$  peut être considéré comme le temps de propagation de l'excitation à travers l'épaisseur de sol  $\ell$ .

$$t_{\text{prop}} = \frac{bP}{2\pi} \ell$$

Si nous connaissons le temps caractéristique de variation des conditions limites, nous pouvons alors utiliser  $t_{\text{prop}}$  pour estimer le temps à partir duquel l'effet de ces conditions limites se sera propagé et aura modifié globalement le profil initial.

### 2.1.6 Lien entre $(\kappa, D)$ et $(a, b, P)$

Si  $z, t \mapsto e^{-az} \cos\left(\frac{2\pi}{P}t - bz\right)$  est solution de (1), alors  $z, t \mapsto e^{-az} \sin\left(\frac{2\pi}{P}t - bz\right)$  l'est également, donc  $z, t \mapsto \exp(-(a+ib)z + (2\pi i/P)t)$  est solution de (1), ce qui implique que  $D(a+ib)^2 - \kappa(a+ib) = i2\pi/P$ . En séparant partie réelle et imaginaire, cette dernière équation se réécrit :

$$\begin{pmatrix} 2ab & -b \\ a^2 - b^2 & -a \end{pmatrix} \begin{pmatrix} D \\ \kappa \end{pmatrix} = \begin{pmatrix} 2\pi/P \\ 0 \end{pmatrix}$$

Ce système admet toujours une solution lorsque  $a$  et  $b$  sont non-nuls car

$$\begin{vmatrix} 2ab & -b \\ a^2 - b^2 & -a \end{vmatrix} = -2a^2b + ba^2 - b^3 = -b(a^2 + b^2)$$

Finalement, la détermination de  $(a, b, P)$  est ici équivalente à la détermination de  $(\kappa, D)$ .

## 2.2 Discrétisation des équations avec volumes finis

### 2.2.1 Discrétisation à partir des bilans de conservation

Nous découpons le milieu 1D en  $N+2$  cellules :

- les cellules 0 et  $N+1$  sont les cellules frontières auxquelles sont imposées les conditions limites.
- les cellules internes, indicées de 1 à  $N$  sont celles où s'opèrent les échanges advecto-conductifs que l'on cherche à simuler.

La discrétisation de l'équation de transfert de chaleur peut alors se mener à partir d'un bilan d'énergie échangée instantanément par une cellule avec ses voisines :

$$\frac{dU_n}{dt} = \Phi_{n-1,n}^c - \Phi_{n,n+1}^c + \Phi_{n-1,n}^a - \Phi_{n,n+1}^a$$

avec  $\Phi^c$  un flux d'énergie de conduction et  $\Phi^a$  un flux d'énergie d'advection. La double indexation par  $(k-1, k)$  est utilisée pour une quantité échangée de la cellule  $k-1$  vers la cellule  $k$ . De manière discrète, les lois de Fourier et de Darcy peuvent s'écrire

$$\Phi_{k,k+1}^c = -S_{k,k+1} \lambda_{k,k+1} \left( \frac{T_{k+1} - T_k}{\ell_{k,k+1}} \right)$$

$$\Phi_{k,k+1}^a = S_{k,k+1} q_{k,k+1} c_{k,k+1} T_{k,k+1}$$

donc

$$c_n \frac{dT_n}{dt} = -\lambda_{n-1,n} \left( \frac{T_n - T_{n-1}}{\ell_n \ell_{n-1,n}} \right) + \lambda_{n,n+1} \left( \frac{T_{n+1} - T_n}{\ell_n \ell_{n,n+1}} \right) + \left( \frac{q_{n-1,n} c_{n-1,n} T_{n-1,n} - q_{n,n+1} c_{n,n+1} T_{n,n+1}}{\ell_n} \right)$$

| paramètre          | sens physique   | unité  |
|--------------------|---|--|
| $S_{k,k+1}$        | la surface entre les cellules $k$ et $k+1$                      | $\text{m}^2$                                       |
| $\lambda_{k,k+1}$  | une conductivité caractérisant la conduction entre $k$ et $k+1$ | $\text{W} \cdot \text{m}^{-1} \cdot \text{K}^{-1}$ |
| $T_k$ et $T_{k+1}$ | les températures des cellules $k$ et $k+1$                      | K  |
| $\ell_{k,k+1}$     | la distance entre la cellule $k$ et $k+1$                       | m  |
| $q_{k,k+1}$        | la vitesse de Darcy de l'eau de $k$ vers $k+1$                  | $\text{m} \cdot \text{s}^{-1}$                     |
| $c_{k,k+1}$        | la capacité volumique de l'eau échangée                         | $\text{J} \cdot \text{K}^{-1} \cdot \text{m}^{-3}$ |
| $T_{k,k+1}$        | la température de l'eau échangée                                | K  |
| $c_n$              | la capacité volumique de la cellule $n$                         | $\text{J} \cdot \text{K}^{-1} \cdot \text{m}^{-3}$ |
| $\ell_n$           | l'épaisseur de la cellule $n$                                   | m  |

### 2.2.2 Formulation tridiagonale

Repérer une cellule dans l'espace à partir de son centre amène à poser  $\ell_{n,n+1} = \frac{\ell_n + \ell_{n+1}}{2}$ .

Par soucis de symétrie d'un échange local, nous postulons que  $T_{k,k+1}$  est une application symétrique des grandeurs de la cellule  $k$  et  $k+1$ . Par exemple,

$$T_{k,k+1} = \frac{\ell_{k+1}T_k + \ell_k T_{k+1}}{2\ell_{k,k+1}}$$

traduit bien le fait que si  $\ell_k \ll \ell_{k+1}$  alors l'eau échangée à l'interface des cellules  $k$  et  $k+1$  est de température proche de  $T_k$ . Dans ce cas, lorsque les cellules ont les mêmes dimensions,  $T_{k,k+1} = \frac{T_k + T_{k+1}}{2}$  et en prenant des paramètres advecto-conductifs constants, nous obtenons l'expression classique en différences finies :

$$c_m \rho_m \frac{dT_n}{dt} = \left( \frac{\lambda_m}{\ell^2} + \frac{q c_w \rho_w}{2\ell} \right) T_{n-1} - \frac{2\lambda_m}{\ell^2} T_n + \left( \frac{\lambda_m}{\ell^2} - \frac{q c_w \rho_w}{2\ell} \right) T_{n+1}$$

De manière générale, il paraît pertinent de proposer une expression de  $T_{k,k+1}$  comme barycentre de  $T_k$  et  $T_{k+1}$  afin d'assurer que  $T_{k,k+1} \in [T_k, T_{k+1}]$ . Le choix de  $T_{k,k+1} = \frac{\ell_{k+1}T_k + \ell_k T_{k+1}}{2\ell_{k,k+1}}$  amène à

$$\begin{aligned} \frac{dT_n}{dt} = & \frac{1}{c_n \rho_n \ell_n} \left( \frac{\lambda_{n-1,n}}{\ell_{n-1,n}} + q_{n-1,n} c_w \rho_w \frac{\ell_n}{2\ell_{n-1,n}} \right) T_{n-1} \\ & - \frac{1}{c_n \rho_n \ell_n} \left( \frac{\lambda_{n-1,n}}{\ell_{n-1,n}} + \frac{\lambda_{n,n+1}}{\ell_{n,n+1}} - c_w \rho_w \left[ q_{n-1,n} \frac{\ell_{n-1}}{2\ell_{n-1,n}} - q_{n,n+1} \frac{\ell_{n+1}}{2\ell_{n,n+1}} \right] \right) T_n \\ & + \frac{1}{c_n \rho_n \ell_n} \left( \frac{\lambda_{n,n+1}}{\ell_{n,n+1}} - q_{n,n+1} c_w \rho_w \frac{\ell_n}{2\ell_{n,n+1}} \right) T_{n+1} \end{aligned}$$

Ainsi, en notant  $T = \begin{pmatrix} T_1 \\ \vdots \\ T_N \end{pmatrix}$ , il vient que

$$\dot{T} = AT + B$$

$$\text{avec } A = \begin{pmatrix} b_1 & c_1 & & & \\ a_2 & \ddots & \ddots & & \\ & \ddots & \ddots & \ddots & \\ & & \ddots & \ddots & c_{N-1} \\ & & & a_N & b_N \end{pmatrix} = \text{Tridiag}(a_n, b_n, c_n), \quad B = \begin{pmatrix} a_1 T_0 \\ 0 \\ \vdots \\ 0 \\ c_N T_{N+1} \end{pmatrix} \text{ et}$$

$$a_n = \frac{1}{c_n \rho_n \ell_n} \left( \frac{\lambda_{n-1,n}}{\ell_{n-1,n}} + q_{n-1,n} c_w \rho_w \frac{\ell_n}{2\ell_{n-1,n}} \right)$$

$$b_n = -\frac{1}{c_n \rho_n \ell_n} \left( \frac{\lambda_{n-1,n}}{\ell_{n-1,n}} + \frac{\lambda_{n,n+1}}{\ell_{n,n+1}} - c_w \rho_w \left[ q_{n-1,n} \frac{\ell_{n-1}}{2\ell_{n-1,n}} - q_{n,n+1} \frac{\ell_{n+1}}{2\ell_{n,n+1}} \right] \right)$$

$$c_n = \frac{1}{c_n \rho_n \ell_n} \left( \frac{\lambda_{n,n+1}}{\ell_{n,n+1}} - q_{n,n+1} c_w \rho_w \frac{\ell_n}{2\ell_{n,n+1}} \right)$$

### 2.2.3 Couplage avec l'équation hydraulique

Les équations (1) et (2) ayant une structure identique, nous pouvons employer la même discrétisation pour la charge hydraulique et pour les températures, tout en veillant à ce que :

- $c_n \rho_n \leftrightarrow S_n$
- $\lambda_{n,n+1} \leftrightarrow K_{n,n+1}$
- $q_{n,n+1} = 0$  car il n'y a pas d'advection hydraulique

En posant  $q_{n,n+1} = -K_{n,n+1} \frac{H_{n+1} - H_n}{\ell_{n,n+1}}$  nous obtenons deux équations couplées en  $T$  et  $H$ .

### 2.2.4 Décomposition $U - V$

Afin d'isoler la dépendance en  $H$  dans  $A_\theta$  et  $B_\theta$  ; nous pouvons écrire

$A_\theta = U_\theta + V_\theta$  avec  $U_\theta = \text{Tridiag}(u_n^{(1)}, u_n^{(2)}, u_n^{(3)})$  et  $V_\theta = \text{Tridiag}(v_n^{(1)}, v_n^{(2)}, v_n^{(3)})$  telles que

$$u_n^{(1)} = \frac{1}{c_n \rho_n \ell_n} \left( \frac{\lambda_{n-1,n}}{\ell_{n-1,n}} \right), u_n^{(2)} = -\frac{1}{c_n \rho_n \ell_n} \left( \frac{\lambda_{n-1,n}}{\ell_{n-1,n}} + \frac{\lambda_{n,n+1}}{\ell_{n,n+1}} \right) \text{ et } u_n^{(3)} = \frac{1}{c_n \rho_n \ell_n} \left( \frac{\lambda_{n,n+1}}{\ell_{n,n+1}} \right)$$

$$v_n^{(1)} = \frac{1}{c_n \rho_n \ell_n} \left( q_{n-1,n} c_w \rho_w \frac{\ell_n}{2\ell_{n-1,n}} \right)$$

$$v_n^{(2)} = \frac{1}{c_n \rho_n \ell_n} \left( c_w \rho_w \left[ q_{n-1,n} \frac{\ell_{n-1}}{2\ell_{n-1,n}} - q_{n,n+1} \frac{\ell_{n+1}}{2\ell_{n,n+1}} \right] \right)$$

$$v_n^{(3)} = -\frac{1}{c_n \rho_n \ell_n} \left( q_{n,n+1} c_w \rho_w \frac{\ell_n}{2\ell_{n,n+1}} \right)$$

Les coefficients  $u$  et  $v$  admettent des expressions analogues, de la forme :

$$x_n^{(1)} = w_n j_n^{(1)} d_{n-1,n} e_{n-1,n}$$

$$x_n^{(2)} = \pm w_n \left( j_n^{(2-)} d_{n-1,n} e_{n-1,n} \pm j_n^{(2+)} d_{n,n+1} e_{n,n+1} \right)$$

$$x_n^{(3)} = \pm w_n j_n^{(3)} d_{n,n+1} e_{n,n+1}$$

A  $U$  et  $V$  nous pouvons associer des conditions aux limites, de la forme  $B_U = u_1^{(1)} T_0 e_1 + u_N^{(3)} T_N e_N$ .

### 2.2.5 Récapitulatif pratique (facilitant le recours massif au slicing)

|            | $w_n$                 | $d_{n,n+1}$                  | $e_{n,n+1}$       | $j_n^{(1)}$ | $j_n^{(2-)}$ | $j_n^{(2+)}$ | $j_n^{(3)}$ |
|------------|-----------------------|------------------------------|-------------------|-------------|--------------|--------------|-------------|
| $U_\theta$ | $1/c_n \rho_n \ell_n$ | $1/\ell_{n,n+1}$             | $\lambda_{n,n+1}$ | 1           | 1            | 1            | 1           |
| $V_\theta$ | $1/c_n \rho_n \ell_n$ | $c_w \rho_w / 2\ell_{n,n+1}$ | $q_{n,n+1}$       | $\ell_n$    | $\ell_{n-1}$ | $\ell_{n+1}$ | $\ell_n$    |
| $U_H$      | $1/s_n \ell_n$        | $1/\ell_{n,n+1}$             | $K_{n,n+1}$       | 1           | 1            | 1            | 1           |
| $V_H$      | 0                     | 0                            | 0                 | 0           | 0            | 0            | 0           |

| vecteurs        | $W$   | $D$         | $E$         | $J$       |
|-----------------|-------|-------------|-------------|-----------|
| dimension       | N     | N+1         | N+1         | N+2       |
| premier élément | $w_1$ | $d_{0,1}$   | $e_{0,1}$   | $j_0$     |
| dernier élément | $w_N$ | $d_{N,N+1}$ | $e_{N,N+1}$ | $j_{N+1}$ |

En utilisant  $\bullet$  le produit d'Hadamard et les notations Numpy de slicing :

$$U = W \bullet \text{Tridiag}(u^1, u^2, u^3) \quad \text{et} \quad V = W \bullet \text{Tridiag}(v^1, v^2, v^3)$$

avec

|   | $u^{(i)}$                                    | $v^{(i)}$   |
|---|--|---|
| 1 | $(D \bullet E)[1 : N]$                       | $J[2 : N + 1] \bullet (D \bullet E)[1 : N]$                             |
| 2 | $-((D \bullet E)[: N] + (D \bullet E)[1 :])$ | $J[: N] \bullet (D \bullet E)[: N] - J[2 :] \bullet (D \bullet E)[1 :]$ |
| 3 | $(D \bullet E)[1 : N]$                       | $-J[1 : N] \bullet (D \bullet E)[1 : N]$                                |

Enfin, le couplage thermo-hydraulique s'écrit

$$E_H = -K \bullet D \bullet (\tilde{H}[1 :] - \tilde{H}[: -1])$$

avec  $\tilde{H} = \begin{pmatrix} Hb[0] \\ H \\ Hb[1] \end{pmatrix}$  où les termes aux extrémités correspondent aux conditions limites.

Remarque : j'ai utilisé le slicing dans les premières implémentations python, mais il s'avère peu approprié pour les objets bas niveau en cython (par exemple les arrays créés avec malloc) dont l'atout principal est de permettre des opérations élémentaires plus rapides.

## 2.3 Résolution numérique

La discrétisation de l'équation amène à

$$\dot{Y} = AY + B$$

avec  $A = U + V$  tridiagonale et  $B$  ne pouvant être non-nul qu'en ses extrémités.

En particulier,

$$\begin{aligned} (1) \quad \dot{T} &= (U_T + V_T)T + B_T \\ (2) \quad \dot{H} &= U_H H + B_H \end{aligned}$$

### 2.3.1 Résolutions séparées

Une première méthode consiste à résoudre (2) en stockant  $(H(t_i))_{1 \leq i \leq N}$  afin ensuite de résoudre (1) aux temps  $(t_i)$ . Cette approche comporte au moins quatre inconvénients :

- nous utilisons de l'espace mémoire en stockant les  $H(t_i)$ .
- c'est plus long de calculer  $T$  puis  $H$ , plutôt que de le faire simultanément.
- lors d'un calcul intermédiaire à  $t_{i,i+1}$  entre  $t_i$  et  $t_{i+1}$  pour (1), nous ne connaissons pas  $H(t_{i,i+1})$ .
- nous allons faire deux appels au solveur pour (2) et (1), ce qui implique de la redondance ainsi qu'une difficulté à paramétrer correctement les deux appels.

### 2.3.2 Résolutions simultanées

Afin de ne pas avoir les défauts précédents, une idée est de rassembler (1) et (2) en une équation, par exemple en construisant un nouveau vecteur  $X = \begin{pmatrix} T \\ H \end{pmatrix}$  solution de  $\dot{X} = f(t, X)$ .

### 2.3.3 Tests numériques

Nous considérons des conditions aux limites constantes. Asymptotiquement, nous devons donc retrouver des solutions de régimes permanents.

#### 2.3.3.1 Milieu homogène

$$H_\infty = \frac{H(\ell) - H(0)}{\ell} z + H(0)$$

$$T_\infty = \exp(-\gamma z) \alpha + \beta \text{ avec :}$$

$$\circ \gamma = \frac{\rho_w c_w}{\lambda_m} \frac{K(H(\ell) - H(0))}{\ell}$$

$$\circ \begin{pmatrix} 1 & 1 \\ \exp(\gamma h) & 1 \end{pmatrix} \begin{pmatrix} \alpha \\ \beta \end{pmatrix} = \begin{pmatrix} \theta(0) \\ \theta(\ell) \end{pmatrix} \text{ donc } \alpha = \frac{\theta(0) - \theta(\ell)}{1 - \exp(\gamma \ell)} \text{ et } \beta = \frac{\theta(\ell) - \exp(\gamma \ell) \theta(0)}{1 - \exp(\gamma \ell)}$$

#### 2.3.3.2 Milieu hétérogène

Supposons que  $K \mapsto K_{z,0}z + K_0$ , les autres grandeurs en jeu restant constantes.

$$H_\infty = (H(\ell) - H(0)) \frac{\int_0^\ell \frac{1}{K_{z,0}z + K_0} dz}{\int_0^\ell \frac{1}{K_{z,0}z + K_0} dz} + H(0) = (H(\ell) - H(0)) \frac{\ln(K_{z,0}\ell + K_0) - \ln(K_0)}{\ln(K_{z,0}\ell + K_0) - \ln(K_0)} + H(0)$$

$$\theta_\infty = (\theta(\ell) - \theta(0)) \frac{\int_0^\ell \exp\left(-\frac{c_w \rho_w K H_{z,0}}{\lambda_m} x\right) dx}{\int_0^\ell \exp\left(-\frac{c_w \rho_w K H_{z,0}}{\lambda_m} x\right) dx} + \theta(0)$$

Avec  $K_{z,0} = 10^{-5}$  et  $K_0 = 10^{-5}$  m,  $\ell = 0.4$  m,  $\lambda_m = 3 \text{ W} \cdot \text{m}^{-2}$ ,  $c_m \rho_m = c_w \rho_w = 4 \times 10^6 \text{ J} \cdot \text{K}^{-1} \cdot \text{m}^{-3}$ , nous obtenons un résultat satisfaisant :

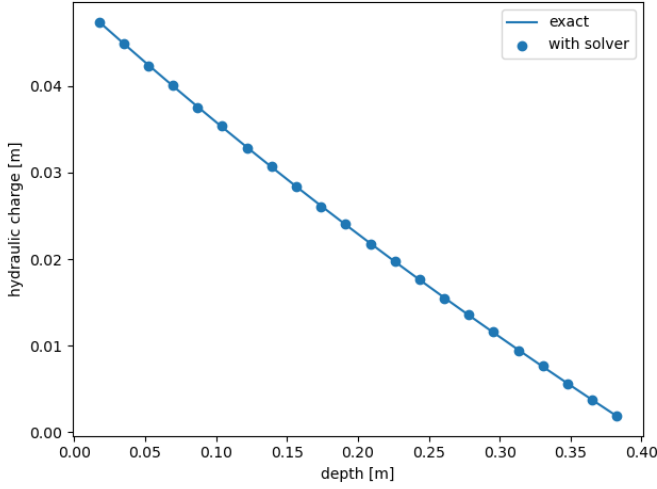


FIGURE 4 – charge hydraulique

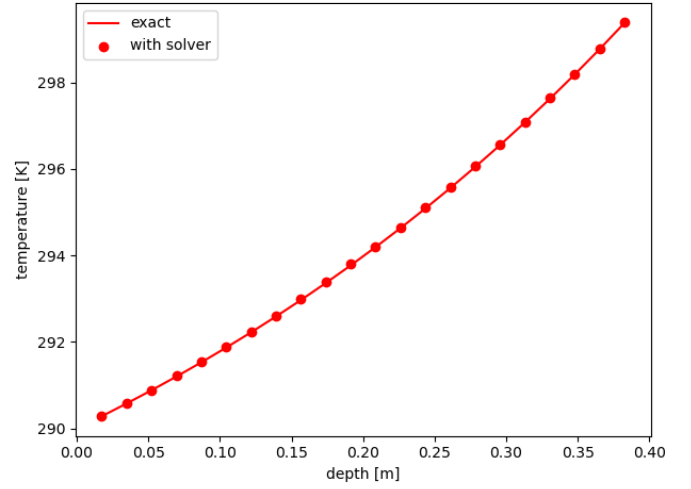


FIGURE 5 – température

## 2.4 Conditions limites hydrauliques

Les conditions limites en charge hydraulique sont nécessaires à la résolution de l'équation (2), ce qui permet alors d'estimer  $H_z$  intervenant dans l'équation (1). Or nous ne disposons actuellement que de la différence entre les charges hydrauliques  $H(\ell)$  et  $H(0)$  aux extrémités de la colonne de sol (dispositif décrit dans [1]). Il y a alors deux voies possibles : construire des conditions limites hydrauliques acceptables pour résoudre numériquement (2) ou bien estimer directement  $H_z$  à partir de  $\Delta H$ .

### 2.4.1 Méthode de régression pour l'estimation de $H_z$

Afin d'estimer  $H_z$  à partir de  $\Delta H$ , il faut usuellement connaître une forme analytique de  $z \mapsto H_z$  paramétrée par  $\Delta H$ . Ce cas de figure est réalisé en régime quasi-permanent où  $H = \beta \int_0^z \frac{1}{K(u)} du + H_0$  donc  $H_z = \frac{\beta}{K}$  avec  $\beta$  pouvant être fixé par  $\Delta H = \beta \int_0^\ell \frac{1}{K(u)} du$ .

Entre deux temps d'observations consécutifs  $t_1$  et  $t_2$ , il reste à interpoler temporellement les profils  $z \mapsto H_z(z, t_1)$  et  $z \mapsto H_z(z, t_2)$ . Par exemple :

$$H_z(z, \epsilon t_1 + (1 - \epsilon)t_0) = H_z(z, t_0)\epsilon + (1 - \epsilon)H_z(z, t_1), \quad \epsilon \in [0, 1]$$

Un test de régime quasi-permanent consiste à comparer le temps d'évolution caractéristique des conditions aux limites au temps de propagation d'une onde de charge hydraulique dans le milieu, ce qui peut se faire en calculant

$$\frac{t_{\text{prop}}}{P} = \frac{1}{2\sqrt{\pi}} \sqrt{\frac{S}{PK}} \cdot \ell$$

Prenons comme valeurs de référence,  $\ell = 60$  cm,  $S = 0.2$ , et  $t_{\text{prop}}/P$  en pourcentage :

| $t_{\text{prop}}/P$ | P | 1 heure | 1 jour | 1 mois |
|---------------------|---|---------|--------|--------|
| $-\log(K)$          |   |         |        |        |
| 3                   |   | 3%      | 0.8 %  | 0.1%   |
| 4                   |   | 13%     | 3 %    | 0.4%   |
| 5                   |   | 40%     | 8 %    | 1%     |
| 6                   |   | 126%    | 26 %   | 5%     |

## 2.4.2 Méthode d'obtention des conditions limites

Il est nécessaire de connaître les conditions limites  $t \mapsto H(0, t)$  et  $t \mapsto H(\ell, t)$  afin de pouvoir faire des prédictions via l'équation (2). Une connaissance de  $t \mapsto \Delta H(t)$  n'est pas suffisante dans le cas général car nous avons

$$H(\ell, t) = H(0, t) + \Delta H(t)$$

et sans information autre que  $\Delta H$  nous ne pouvons pas obtenir  $H(0, t)$ .

Considérons l'exemple ci-dessous pour comprendre que la connaissance de  $t \mapsto \Delta H(t)$  ne suffit pas à prévoir l'évolution de  $H$  et donc de  $H_z$ . Plutôt que d'utiliser  $H$ , nous parlerons de température puisque les deux grandeurs suivent la même équation de diffusion.

Une tige en métal est coincée entre deux thermostats.

Initialement, les deux thermostats et la tige sont tous à  $T_0$ .

Nous réglons simultanément la température des deux thermostats à  $T_1$ .

Le champ des températures dans la tige évolue alors vers le nouvel équilibre et l'on observe transitoirement de forts gradients thermiques.

Dans cet exemple, à tout moment nous avons  $\Delta T = 0$  aux extrémités de la tige, pour autant avec cette seule information il nous est impossible de dire si le métal reste à l'équilibre thermique ou bien si ce dernier subit un choc thermique.

Nous savons que la charge hydraulique de l'aquifère en profondeur est quasi-constante (du moins sur une période d'observation suffisamment courte). En supposant qu'à la profondeur  $\ell$ , nous bénéficions déjà d'une charge hydraulique stable durant la période de mesure considérée, il est alors possible de poser  $H(\ell, t) = 0$  et  $H(0, t) = -\Delta H$  pour obtenir des conditions limites pertinentes. Cette hypothèse permettant de proposer des conditions limites à partir de  $t \mapsto \Delta H(t)$  n'est pas toujours vérifiée, comme le montre le cas simple d'un milieu homogène parcouru par une onde de charge hydraulique de période temporelle  $P$ . L'amplitude amortie de l'onde de charge hydraulique à la profondeur  $z$  vaut

$$A(z) = \exp\left(-\sqrt{\frac{\pi S}{KP}}z\right)$$

En calculant cette amplitude en pourcentage de l'amplitude initiale (en  $z = 0$ ), nous en déduisons

| $A(\ell)$  | P | 1 heure | 1 jour | 1 mois |
|------------|---|---------|--------|--------|
| $-\log(K)$ |   |         |        |        |
| 3          |   | 78%     | 95 %   | 99%    |
| 4          |   | 45%     | 85 %   | 97%    |
| 5          |   | 8%      | 60 %   | 91%    |
| 6          |   | 0.04%   | 20 %   | 74%    |

Sur les 3 premiers ordres de grandeur de  $K$ , la charge hydraulique en  $z = \ell$  oscille avec une amplitude significative pour les 3 périodes  $P$  considérées et donc l'hypothèse de charge hydraulique constante en  $z = \ell$  n'est pas satisfaisante.

Nous remarquons ici que les pires cas sont globalement ceux où l'hypothèse de régime quasi-permanent est valable : ceci pourrait nous amener à utiliser l'une ou l'autre méthode en fonction des conditions les plus favorables.

## 3 Implémentation : MCMC avec modèle direct

### 3.1 Choix de cython

L'implémentation la plus avancée est réalisée en cython qui est une extension permettant de compiler un code hybride mélangeant python et C. Les atouts de cython sont ses performances (le code est compilé en C), sa maturité (contrairement à numba), la richesse des outils disponibles (bibliothèques C ou C++, objets cython comme les memoryviews ou les extended classes) ou encore sa facilité à créer des modules appelables depuis des scripts python classiques. Voici quelques tests de vitesse



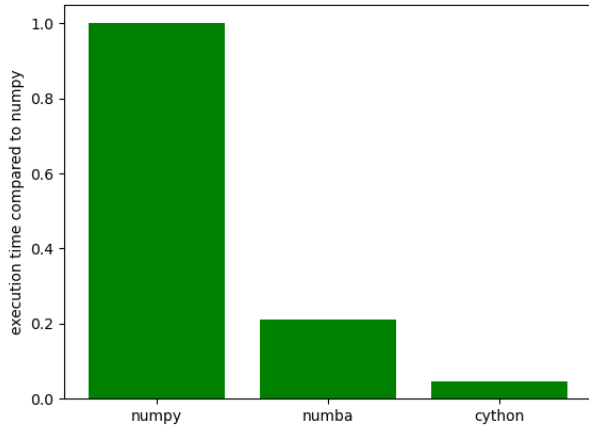


FIGURE 6 – création d'un tableau vide

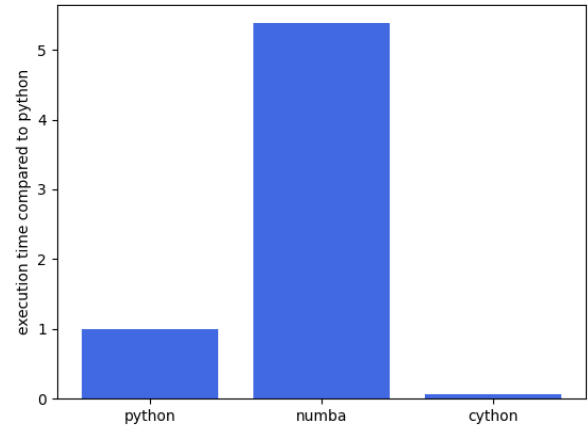


FIGURE 7 – création d'une classe

Afin d'accroître la vitesse d'exécution, il est conseillé avec cython de systématiquement privilégier les instructions C de base : typiquement malloc pour créer un array (voir [4]). Ce gain en rapidité a pour principal désagrément de nécessiter davantage de lignes de code : par exemple l'allocation manuelle de la mémoire avec malloc suppose une dés-allocation manuelle avec free, alors qu'en python cette dés-allocation est gérée automatiquement par le garbage collector.

### 3.2 Test en régime permanent

Pour un milieu homogène avec :

- une perméabilité de  $10^{-5} \text{ m}^2$
- une résolution des équations (1) et (2) sur une semaine
- 5 chaînes MCMC
- 1000 itérations

Nous obtenons au bout de 3.1 secondes une estimation  $\bar{K} = 1.7 \times 10^{-5} \text{ m}^2$  ainsi que l'histogramme ci-dessous. En particulier, en prenant comme option `autostep=False`, c'est à dire en désactivant la méthode de pas de temps adaptatif du solver (voir [5]), le temps d'exécution est multiplié par 10.

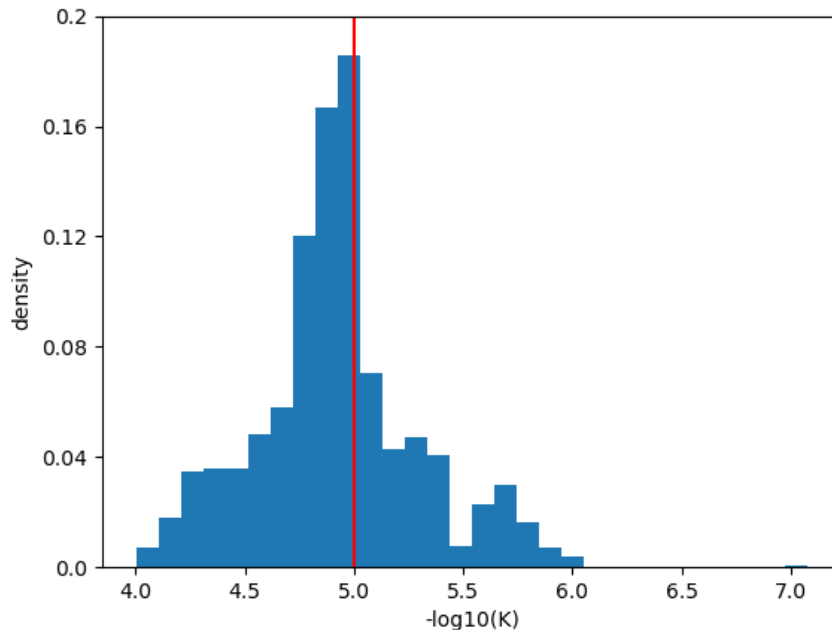


FIGURE 8 – histogramme de la perméabilité logarithmique

remarque : je n'ai pas utilisé un a priori uniforme sur  $-\log(K)$  mais sur  $K$  dans la MCMC, car j'estime que ce dernier a priori est plus pertinent physiquement parlant.

### 3.3 Conclusion

Dans ce projet, nous nous sommes intéressés à l'estimation des paramètres d'une EDP en 1D à partir de mesures physiques d'une solution. Les mesures physiques parcellaires dont nous disposons nous ont fait privilégier une approche bayésienne de quantification de la vraisemblance des jeux de paramètres par rapport à un modèle physique et à des densités a priori. Plus précisément, nous avons utilisé une méthode classique de MCMC (Markov Chain Monte Carlo) où une marche aléatoire permet une exploration intelligente de l'espace des paramètres a priori. Le recours à cette méthode a exigé l'élaboration d'un outil de résolution numérique d'EDP, obtenu à partir d'une interprétation discrète des lois physiques en jeu (\*). C'est en cherchant à améliorer les performances d'une implémentation python des algorithmes de MCMC et de résolution d'EDP que nous avons opté pour cython après avoir également testé numpy et numba.

D'un point de vue de l'implémentation, plusieurs progrès sont envisageables :

- tester de manière plus approfondie l'implémentation cython : typiquement avec des ondes thermiques et en milieu multi-strates. De manière plus générale, il faudrait créer une banque de tests de référence.
- créer une classe (ou fonction) permettant d'interfacer de manière générique les outils cython principaux (construits avec des instructions C) avec du python (pour rappel : les objets C définis avec cython, reconnaissables par leur déclaration utilisant "cdef", ne sont pas appelables depuis un script python).
- implémenter des fonctionnalités supplémentaires comme l'utilisation du critère de Gelman-Rubin ou le calcul des quantiles. Afin d'accélérer le calcul des quantiles, nous pourrions nous limiter à l'estimation des températures moyennes ainsi que d'un écart-type moyen.

Pour finir, voici quelques pistes de réflexion :

- ◊ faut-il revoir les dispositifs de mesure pour améliorer l'efficacité des algorithmes ? Par exemple, les fréquences d'échantillonnage (spatiale et temporelle) et les capteurs de charges hydrauliques.
- ◊ comment spécialiser la méthode MCMC pour augmenter les performances de résolution ?
- ◊ est-il intéressant d'utiliser une méthode autre que la MCMC ?
- ◊ comment estimer la validité d'un modèle physique 1D avec des strates horizontales ?
- ◊ quels gains peut-on obtenir en complexifiant le modèle physique (ex : prendre en compte des dépendances en température ou poser le problème en 2D voire 3D) ?

(\*) la méthode utilisée ici est fortement inspirée de ce que j'ai créé l'année dernière durant un projet de résolution numérique de l'équation de la chaleur non-linéaire 1D, encadré par Laurent Lacourt (ingénieur chez Framatome et professeur aux Mines de Paris).

## Références

- [1] Karina Cucchi, Agnès Rivière, Aurélien Baudin, Asma Berrhouma, Véronique Durand, Fayçal Rejiba, Yoram Rubin, Nicolas Flipo, LOMOS-mini : A coupled system quantifying transient water and heat exchanges in streambeds, *Journal of Hydrology*, 2018
- [2] Jasper A. Vrugt, Markov chain Monte Carlo simulation using the DREAM software package : Theory, concepts, and MATLAB implementation, *Environmental Modelling & Software*, 2016
- [3] Stallman, Robert William, Steady one-dimensional fluid flow in a semi-infinite porous medium with sinusoidal surface temperature, *Journal of Geophysical Research* 70, 1965
- [4] What is the recommended way of allocating memory for a typed memory view?, <https://stackoverflow.com/questions/18462785/what-is-the-recommended-way-of-allocating-memory-for-a-typed-memory-view>
- [5] Practical Error Estimation and Step Size Selection - EPFL, <https://www.epfl.ch/labs/anchp/wp-content/uploads/2018/05/HNW.pdf>

## 4 Codes en annexe

### 4.1 cython : programmes avancés

#### 4.1.1 code du module cython à compiler (MOLO\_45.pyx)

```
1 import numpy as np
2 from libc.stdlib cimport malloc, free
3 from libc.stdlib cimport rand, srand, RAND_MAX
4 from libc.math cimport log, sqrt, exp
5 from libc.time cimport time
6
7 ##Matrix objects and operations
8
9 #creates a malloc array from a memoryview
10 cdef double* numpy_to_C(double[:] X):
11     cdef int size = X.shape[0]
12     cdef double* Xr = <double*> malloc(size * sizeof(double))
13     cdef int i
14     for i in range(size):
15         Xr[i] = X[i]
16     return Xr
17
18 #creates a memoryview from a malloc array
19 cdef double[:] C_to_numpy(double* X, int size):
20     cdef double[:] Xr = np.empty(size, dtype=np.double)
21     cdef int i
22     for i in range(size):
23         Xr[i] = X[i]
24     return Xr
25
26 #returns coefficient (i,j) of a triadiagonal matrix stored as a malloc array
27 cdef double tridget(double* coefs, int size, int i, int j):
28     cdef int select = i-j
29     #coef from the subdiagonal
30     if select>0:
31         return coefs[i-1]
32     #coef from the diagonal
33     elif select<0:
34         return coefs[2*size-1+i]
35     #coef from the superdiagonal
36     else:
37         return coefs[size-1+i]
38
39 #to build an ordinary (n,m) real matrix
40 cdef class Matrix:
41
42     #matrix stored in a malloc array
43     cdef double* mat
44     #number of lines
45     cdef int n
46     #number of columns
47     cdef int m
48
49     cdef void init(self, int n, int m):
50         self.n = n
51         self.m = m
52         self.mat = <double*> malloc((n*m) * sizeof(double))
53
54     cdef void set(self, int i, int j, double val):
55         self.mat[i*self.m+j] = val
56
57     cdef double get(self, int i, int j):
58         return self.mat[i*self.m+j]
59
60     #assigns values of a contiguous row slice
```

```

61 cdef void slicerowset(self, int i, int j1, int j2, double* row):
62     cdef int j
63     for j in range(j1, j2):
64         self.set(i, j, row[j-j1])
65
66 def convert_to_numpy(self):
67     A = np.empty((self.n, self.m), dtype=np.double)
68     cdef double[:, ::1] A_view = A
69     cdef int i
70     for i in range(self.n):
71         for j in range(self.m):
72             A_view[i, j] = self.get(i, j)
73     return np.asarray(A)
74
75 def extract_from_numpy(self, double[:, ::1] A):
76     cdef int i
77     for i in range(self.n):
78         for j in range(self.m):
79             self.set(i, j, A[i, j])
80
81 cdef void free(self):
82     free(self.mat)
83
84 #to build a tridiagonal (n,n) real matrix
85 cdef class Tridiag:
86
87     #matrix stored in a malloc array
88     cdef double* mat
89     #number of lines or rows
90     cdef int size
91
92     cdef void init(self, int size):
93         self.size = size
94         self.mat = <double*> malloc((3*size-2) * sizeof(double))
95
96     cdef void set(self, int i, int j, double val):
97         cdef int select = i-j
98         #subdiagonal
99         if select>0:
100             self.mat[i-1] = val
101         #diagonal
102         elif select<0:
103             self.mat[2*self.size-1+i] = val
104         #superdiagonal
105         else:
106             self.mat[self.size-1+i] = val
107
108     #assigns identity matrix coef values
109     cdef void identity(self):
110
111         #first row
112         self.set(0, 0, 1)
113         self.set(0, 1, 0)
114
115         cdef int i
116         for i in range(1, self.size-1):
117             self.set(i, i-1, 0)
118             self.set(i, i, 1)
119             self.set(i, i+1, 0)
120
121         #last row
122         self.set(self.size-1, self.size-2, 0)
123         self.set(self.size-1, self.size-1, 1)
124
125     #assigns three given diagonals
126     cdef void diagset(self, double* sub_diag, double* diag, double* sup_diag):
127
128         #first row

```

```

129     self.set(0,0,diag[0])
130     self.set(0,1,sup_diag[0])
131
132     cdef int i
133     for i in range(1,self.size-1):
134         self.set(i,i-1,sub_diag[i-1])
135         self.set(i,i,diag[i])
136         self.set(i,i+1,sup_diag[i])
137
138     #last row
139     self.set(self.size-1,self.size-2,sub_diag[self.size-2])
140     self.set(self.size-1,self.size-1,diag[self.size-1])
141
142 cdef double get(self,int i, int j):
143     cdef int select = i-j
144     #subdiagonal
145     if select>0:
146         return self.mat[i-1]
147     #diagonal
148     elif select<0:
149         return self.mat[2*self.size-1+i]
150     #superdiagonal
151     else:
152         return self.mat[self.size-1+i]
153
154 #multiplies the matrix with a scalar
155 cdef void scalarmul(self,double a):
156
157     #first row
158     self.set(0,0,a*self.get(0,0))
159     self.set(0,1,a*self.get(0,1))
160
161     cdef int i
162     for i in range(1,self.size-1):
163         self.set(i,i-1,a*self.get(i,i-1))
164         self.set(i,i,a*self.get(i,i))
165         self.set(i,i+1,a*self.get(i,i+1))
166
167     #last row
168     self.set(self.size-1,self.size-2,a*self.get(self.size-1,self.size-2))
169     self.set(self.size-1,self.size-1,a*self.get(self.size-1,self.size-1))
170
171 #returns the image of a vector
172 #WARNING: it returns a new malloc array
173 cdef double* dot(self,double* X):
174
175     cdef double* Xr = <double*> malloc(self.size * sizeof(double))
176
177     #first coef
178     Xr[0] = self.get(0,0)*X[0] + self.get(0,1)*X[1]
179
180     cdef int i
181     for i in range(1,self.size-1):
182         Xr[i] = self.get(i,i-1)*X[i-1] + self.get(i,i)*X[i] + self.get(i,i+1)*X[i
+1]
183
184     #last coef
185     Xr[self.size-1] = self.get(self.size-1,self.size-2)*X[self.size-2] + self.get
(self.size-1,self.size-1)*X[self.size-1]
186
187     return Xr
188
189 #copies the tridiagonal matrix coef values given as an array
190 cdef void copy(self,double* A):
191
192     #first row
193     self.set(0,0, tridget(A,self.size,0,0))
194     self.set(0,1, tridget(A,self.size,0,1))

```

```

195     cdef int i
196     for i in range(1,self.size-1):
197         self.set(i,i-1,tridget(A,self.size,i,i-1))
198         self.set(i,i,tridget(A,self.size,i,i))
199         self.set(i,i+1,tridget(A,self.size,i,i+1))
200
201     #last row
202     self.set(self.size-1,self.size-2,tridget(A,self.size,self.size-1,self.size-2)
203 )
204     self.set(self.size-1,self.size-1,tridget(A,self.size,self.size-1,self.size-1)
205 )
206
207 #assigns the sum of two tridiagonal matrices given as arrays
208 cdef void add(self,double* A, double* B):
209
210     #first row
211     self.set(0,0, tridget(A,self.size,0,0) + tridget(B,self.size,0,0))
212     self.set(0,1, tridget(A,self.size,0,1) + tridget(B,self.size,0,1))
213
214     cdef int i
215     for i in range(1,self.size-1):
216         self.set(i,i-1,tridget(A,self.size,i,i-1) + tridget(B,self.size,i,i-1))
217         self.set(i,i,tridget(A,self.size,i,i) + tridget(B,self.size,i,i))
218         self.set(i,i+1,tridget(A,self.size,i,i+1) + tridget(B,self.size,i,i+1))
219
220     #last row
221     self.set(self.size-1,self.size-2,tridget(A,self.size,self.size-1,self.size-2)
222 + tridget(B,self.size,self.size-1,self.size-2))
223     self.set(self.size-1,self.size-1,tridget(A,self.size,self.size-1,self.size-1)
224 + tridget(B,self.size,self.size-1,self.size-1))
225
226 #solves the linear system A*x = d
227 #uses Thomas algorithm
228 #WARNING: the solution is returned as a new malloc array
229 cdef double* solve(self,double* d):
230
231     cdef double* cp = <double*> malloc((self.size-1) * sizeof(double))
232     cdef double* dp = <double*> malloc(self.size * sizeof(double))
233     cdef double* s = <double*> malloc(self.size * sizeof(double))
234     cdef int i
235
236     cp[0] = self.get(0,1)*self.get(0,0)**(-1)
237     for i in range(1,self.size-1):
238         cp[i] = self.get(i,i+1)*(self.get(i,i)-self.get(i+1,i)*cp[i-1])**(-1)
239
240     dp[0] = d[0]*self.get(0,0)**(-1)
241     for i in range(1,self.size):
242         dp[i] = (d[i]-self.get(i,i-1)*dp[i-1])*(self.get(i,i)-self.get(i,i-1)*cp[
243 i-1])**(-1)
244
245     s[self.size-1] = dp[self.size-1]
246     for i in range(1,self.size):
247         s[self.size-1-i] = dp[self.size-1-i] - cp[self.size-1-i]*s[self.size-i]
248
249     free(cp)
250     free(dp)
251
252     return s
253
254 cdef void free(self):
255     free(self.mat)
256
257 def convert_to_numpy(self):
258     A = np.zeros((self.size,self.size),dtype=np.double)
259     cdef double[:, ::1] A_view = A
260     cdef int i
261     A_view[0,0] = self.get(0,0)

```

```

258     A_view[0,1] = self.get(0,1)
259     for i in range(1,self.size-1):
260         A_view[i,i-1] = self.get(i,i-1)
261         A_view[i,i] = self.get(i,i)
262         A_view[i,i+1] = self.get(i,i+1)
263     A_view[self.size-1,self.size-2] = self.get(self.size-1,self.size-2)
264     A_view[self.size-1,self.size-1] = self.get(self.size-1,self.size-1)
265     return np.asarray(A)
266
267 ##MOLONARI objects
268
269 ###Physical model
270
271 #to build the discretized spatial structure of the studied ground layer
272 cdef class Geometry:
273     #number of ground cells (or sublayers)
274     cdef int N
275     #height of the studied ground layer [m]
276     cdef double h
277     #cells widths [m]
278     cdef double* width
279     #spacings between consecutive cells [m]
280     cdef double* spacing
281     #cells interfaces depths [m]
282     cdef double* depth_i
283     #cells depths [m]
284     cdef double* depth_c
285
286     cdef void init(self, int N):
287         self.N = N
288         self.width = <double*> malloc((N+2) * sizeof(double))
289         self.spacing = <double*> malloc((N+1) * sizeof(double))
290         self.depth_c = <double*> malloc(N * sizeof(double))
291         self.depth_i = <double*> malloc((N+1) * sizeof(double))
292
293     #creates a regular spatial structure
294     cdef void regular(self, double h):
295
296         self.h = h
297         cdef double l = h*(<double> self.N + 1)**(-1)
298
299         cdef int i
300         for i in range(self.N):
301             self.width[i] = l
302             self.spacing[i] = l
303             self.depth_c[i] = (i+1)*l
304             self.depth_i[i] = i*l+0.5*l
305
306         self.width[self.N] = l
307         self.spacing[self.N] = l
308         self.depth_i[self.N] = h
309         self.width[self.N+1] = l
310
311     cdef void free(self):
312         free(self.width)
313         free(self.spacing)
314         free(self.depth_c)
315         free(self.depth_i)
316
317 #to build a conduction matrix for discretized equations
318 cdef class Umatrix:
319     #number of main cells
320     cdef int N
321     cdef Tridiag Umat
322     #auxiliary array used in boundary conditions
323     cdef double* B_U
324     cdef Geometry geo
325     #conductivities

```

```

326 cdef double* L
327 #capacities
328 cdef double* C
329
330 cdef void init(self, int N, Geometry geo, double* Lambda, double* C):
331     self.N = N
332     self.Umat = Tridiag()
333     self.Umat.init(N)
334     self.B_U = <double*> malloc(2 * sizeof(double))
335     self.geo = geo
336     self.L = Lambda
337     self.C = C
338
339 #assigns matrix Umat coef values using formulas given in theoretical doc
340 #also computes B_U
341 cdef void compute(self):
342
343     #first row
344     self.Umat.set(0,0,
345         (-self.L[0]*self.geo.spacing[0]**(-1)-self.L[1]*self.geo.
spacing[1]**(-1))
346         *(self.C[0]*self.geo.width[1])**(-1))
347     self.Umat.set(0,1,
348         self.L[1]
349         *(self.C[0]*self.geo.width[1]*self.geo.spacing[1])**(-1))
350
351     cdef int i
352     for i in range(1,self.N-1):
353         self.Umat.set(i,i-1,
354             self.L[i]
355             *(self.C[i]*self.geo.width[i+1]*self.geo.spacing[i])**(-1))
356         self.Umat.set(i,i,
357             (-self.L[i]*self.geo.spacing[i]**(-1)-self.L[i+1]*self.geo.
spacing[i+1]**(-1))
358             *(self.C[i]*self.geo.width[i+1])**(-1))
359         self.Umat.set(i,i+1,
360             self.L[i+1]
361             *(self.C[i]*self.geo.width[i+1]*self.geo.spacing[i+1])
**(-1))
362
363     #last row
364     self.Umat.set(self.N-1,self.N-2,
365         self.L[self.N-1]
366         *(self.C[self.N-1]*self.geo.width[self.N]*self.geo.spacing[self
.N-1])**(-1))
367     self.Umat.set(self.N-1,self.N-1,
368         (-self.L[self.N-1]*self.geo.spacing[self.N-1]**(-1)-self.L[self
.N]*self.geo.spacing[self.N]**(-1))
369         *(self.C[self.N-1]*self.geo.width[self.N])**(-1))
370
371     self.B_U[0] = (self.L[0]
372         *(self.C[0]*self.geo.width[1]*self.geo.spacing[0])**(-1))
373     self.B_U[1] = (self.L[self.N]
374         *(self.C[self.N-1]*self.geo.width[self.N]*self.geo.spacing[
self.N])**(-1))
375
376 cdef void free(self):
377     self.Umat.free()
378     free(self.B_U)
379
380 #to build an advection matrix for discretized equations
381 cdef class Vmatrix:
382     #number of mail cells
383     cdef int N
384     cdef Tridiag Vmat
385     #auxiliary array used in boundary conditions
386     cdef double* B_V
387     cdef Geometry geo

```



```

388 #conductivities
389 cdef double* L
390 #capacities
391 cdef double* C
392 #permeabilities
393 cdef double* K
394 #water heat capacity [J*kg-1*K-1]
395 cdef double cw
396 #water density [kg*m-3]
397 cdef double rhow
398
399 cdef void init(self, int N, Geometry geo, double* Lambda, double* C, double* K):
400     self.N = N
401     self.Vmat = Tridiag()
402     self.Vmat.init(N)
403     self.B_V = <double*> malloc(2 * sizeof(double))
404     self.geo = geo
405     self.L = Lambda
406     self.C = C
407     self.K = K
408     self.cw = 4180
409     self.rhow = 1000
410
411 #assigns matrix Vmat coef values using formulas given in theoretical doc
412 #also computes B_V
413 cdef void compute(self, double* grad):
414
415     #first row
416     self.Vmat.set(0,0,
417         self.cw*self.rhow*(-self.K[0]*grad[0]*self.geo.width[0]*(2*self
418         .geo.spacing[0])**(-1)
419         +self.K[1]*grad[1]*self.geo.width[2]*(2*self
420         .geo.spacing[1])**(-1))
421         *(self.C[0]*self.geo.width[1])**(-1))
422     self.Vmat.set(0,1,
423         self.cw*self.rhow*self.K[1]*grad[1]
424         *(2*self.C[0]*self.geo.spacing[1])**(-1))
425
426     cdef int i
427     for i in range(1,self.N-1):
428         self.Vmat.set(i,i-1,
429             -self.cw*self.rhow*self.K[i]*grad[i]
430             *(2*self.C[i]*self.geo.spacing[i])**(-1))
431         self.Vmat.set(i,i,
432             self.cw*self.rhow*(-self.K[i]*grad[i]*self.geo.width[i]*(2*
433             self.geo.spacing[i])**(-1)
434             +self.K[i+1]*grad[i+1]*self.geo.width[i
435             +2]*(2*self.geo.spacing[i+1])**(-1))
436             *(self.C[i]*self.geo.width[i+1])**(-1))
437         self.Vmat.set(i,i+1,
438             self.cw*self.rhow*self.K[i+1]*grad[i+1]
439             *(2*self.C[i]*self.geo.spacing[i+1])**(-1))
440
441     #last row
442     self.Vmat.set(self.N-1,self.N-2,
443         -self.cw*self.rhow*self.K[self.N-1]*grad[self.N-1]
444         *(2*self.C[self.N-1]*self.geo.spacing[self.N-1])**(-1))
445     self.Vmat.set(self.N-1,self.N-1,
446         self.cw*self.rhow*(-self.K[self.N-1]*grad[self.N-1]*self.geo.
447         width[self.N-1]*(2*self.geo.spacing[self.N-1])**(-1)
448         +self.K[self.N]*grad[self.N]*self.geo.
449         width[self.N+1]*(2*self.geo.spacing[self.N])**(-1))
450         *(self.C[self.N-1]*self.geo.width[self.N])**(-1))
451
452     self.B_V[0] = (-self.cw*self.rhow*self.K[0]*grad[0]
453         *(2*self.geo.spacing[0]*self.C[0])**(-1))
454     self.B_V[1] = (self.cw*self.rhow*self.K[self.N]*grad[self.N]
455         *(2*self.geo.spacing[self.N]*self.C[self.N-1])**(-1))

```

```

450
451     cdef void free(self):
452         self.Vmat.free()
453         free(self.B_V)
454
455 #to build an efficient linear data interpolation function
456 #requires data sampled with a constant sampling step
457 cdef class QuickInterpol:
458     #number of samples
459     cdef int Ntimes
460     #sampling step
461     cdef double dt
462     #sampling start
463     cdef double t0
464     #sampling end
465     cdef double tf
466     #array storing data to interpolate
467     cdef double* X
468
469     cdef void init(self, int Ntimes, double dt, double t0, double tf, double* X):
470         self.Ntimes = Ntimes
471         self.dt = dt
472         self.t0 = t0
473         self.tf = tf
474         self.X = X
475
476     #returns a linear interpolation at "time" t
477     cdef double eval(self, double t):
478         cdef int n
479         cdef double frac
480         cdef double e
481         #before sampling start
482         if t <= self.t0:
483             return self.X[0]
484         #after sampling end
485         elif t >= self.tf:
486             return self.X[self.Ntimes-1]
487         else:
488             frac = (t-self.t0)*(self.dt)**(-1)
489             n = <int>(frac)
490             e = frac-n
491             return self.X[n]*(1-e) + self.X[n+1]*e
492
493     cdef void free(self):
494         free(self.X)
495
496 #to build a linear data interpolation function
497 #with possibly a non constant sampling step
498 cdef class SlowInterpol:
499     #number of samples
500     cdef int Ntimes
501     #sampling times
502     cdef double* times
503     #sampling start
504     cdef double t0
505     #sampling end
506     cdef double tf
507     #array storing data to interpolate
508     cdef double* X
509
510     cdef void init(self, int Ntimes, double* times, double* X):
511         self.Ntimes = Ntimes
512         self.times = times
513         self.t0 = times[0]
514         self.tf = times[Ntimes-1]
515         self.X = X
516
517     #returns a linear interpolation at "time" t

```

```

518 #uses dichotomic method
519 cdef double eval(self, double t):
520     cdef int a = 0
521     cdef int b = self.Ntimes
522     cdef int m
523     cdef double e
524     if t < self.t0:
525         return self.X[0]
526     elif t >= self.tf:
527         return self.X[self.Ntimes-1]
528     else:
529         while b-a > 1:
530             m = (a+b)//2
531             if t < self.times[m]:
532                 b = m
533             else:
534                 a = m
535             e = (t-self.X[a])*(self.X[a+1]-self.X[a])**(-1)
536             return self.X[a]*(1-e) + self.X[a+1]*e
537
538 cdef void free(self):
539     free(self.X)
540     free(self.times)
541
542 #tool to summarize physical properties of ground layers and sublayers
543 cdef class StratifiedParams:
544
545     #number of layers
546     cdef int Nl
547     #depths of layers boundaries [m]
548     #[right limit layer 0, right limit interlayer 01, right limit layer 1 ...]
549     cdef double* border
550     #conductivities in layers
551     cdef double* Ll
552     #conductivities in sublayers
553     cdef double* L
554     #capacities in layers
555     cdef double* Cl
556     #capacities in sublayers
557     cdef double* C
558     #permeabilities in layers
559     cdef double* Kl
560     #permeabilities in sublayers
561     cdef double* K
562     #specific capacity in layers
563     cdef double* Sl
564     #specific capacity in sublayers
565     cdef double* S
566     cdef Geometry geo
567
568 cdef void init(self, int Nl, double* border, Geometry geo):
569     self.Nl = Nl
570     self.border = border
571     self.L = <double*> malloc((geo.N+1) * sizeof(double))
572     self.C = <double*> malloc(geo.N * sizeof(double))
573     self.K = <double*> malloc((geo.N+1) * sizeof(double))
574     self.S = <double*> malloc(geo.N * sizeof(double))
575     self.geo = geo
576
577 cdef void update_layers_params(self, double* Ll, double* Cl, double* Kl, double*
578 Sl):
579     self.Ll = Ll
580     self.Cl = Cl
581     self.Kl = Kl
582     self.Sl = Sl
583
584 #assigns sublayers parameters values according to the layer they belong to
585 cdef void compute(self):

```

```

585
586 cdef int i
587 cdef int d = 0
588 cdef int layer_bool = 1
589 cdef int layer_id = 0
590 cdef double e
591
592 #conductive properties (specific to an interface)
593 for i in range(self.geo.N+1):
594
595     while self.geo.depth_i[i] > self.border[d]:
596         d = d + 1
597         if layer_bool == 0:
598             layer_bool = 1
599             layer_id = layer_id + 1
600         else:
601             layer_bool = 0
602
603     #in the layer
604     if layer_bool == 1:
605         self.L[i] = self.Ll[layer_id]
606         self.K[i] = self.Kl[layer_id]
607     #in the interlayer (or interface)
608     else:
609         e = (self.border[d]-self.geo.depth_i[i])*(self.border[d]-self.border[
d-1])**(-1)
610         self.L[i] = e*self.Ll[layer_id] + (1-e)*self.Ll[layer_id+1]
611         self.K[i] = e*self.Kl[layer_id] + (1-e)*self.Kl[layer_id+1]
612
613     d = 0
614     layer_bool = 1
615     layer_id = 0
616
617 #capacitive properties (specific to a cell or sublayer)
618 for i in range(self.geo.N):
619
620     while self.geo.depth_c[i] > self.border[d]:
621         d = d + 1
622         if layer_bool == 0:
623             layer_bool = 1
624             layer_id = layer_id + 1
625         else:
626             layer_bool = 0
627
628     #in the layer
629     if layer_bool == 1:
630         self.C[i] = self.Cl[layer_id]
631         self.S[i] = self.Sl[layer_id]
632     #in the interlayer
633     else:
634         e = (self.border[d]-self.geo.depth_i[i])*(self.border[d]-self.border[
d-1])**(-1)
635         self.C[i] = e*self.Cl[layer_id] + (1-e)*self.Cl[layer_id+1]
636         self.S[i] = e*self.Sl[layer_id] + (1-e)*self.Sl[layer_id+1]
637
638 cdef void free(self):
639     free(self.L)
640     free(self.Ll)
641     free(self.C)
642     free(self.Cl)
643     free(self.K)
644     free(self.Kl)
645     free(self.S)
646     free(self.Sl)
647     free(self.border)
648
649 cdef double norm(double* X, int n, int id = 2):
650     cdef double result = 0

```

```

651     cdef int i
652     for i in range(n):
653         result = result + X[i]**(id)
654     return result**((<double> id)**(-1))
655
656 cdef double distance(double* X, double* Y, int n, int id = 2):
657     cdef double result = 0
658     cdef int i
659     for i in range(n):
660         result = result + (X[i]-Y[i])**id
661     return result**((<double> id)**(-1))
662
663 #tool to solve discretized equations
664 cdef class StratifiedModel:
665
666     #number of main cells
667     cdef int N
668     cdef StratifiedParams params
669     cdef Umatrix Umatrix_T
670     cdef Vmatrix Vmatrix_T
671     cdef Umatrix Umatrix_H
672     cdef Geometry geo
673     #array storing cells hydraulic charges [m]
674     cdef double* H
675     #array storing hydraulic gradient
676     cdef double* Hz
677     #array storing cells temperatures [K]
678     cdef double* T
679
680     #to get boundary conditions
681     cdef QuickInterpol Hriv
682     cdef QuickInterpol Haq
683     cdef QuickInterpol Triv
684     cdef QuickInterpol Taq
685
686     #to facilitate computations
687     cdef Tridiag I
688     cdef Tridiag A
689
690     cdef double* depths_meas
691     cdef int nb_meas
692     #location of the cells at measures depths
693     cdef int* interpol_index
694     #weights necessary for linear interpolation
695     cdef double* interpol_weights
696     cdef double norm_H0
697     cdef double norm_H1
698     cdef double norm_T0
699     cdef double norm_T1
700     cdef double atol_H
701     cdef double rtol_H
702     cdef double atol_T
703     cdef double rtol_T
704     cdef int norm_id
705
706     cdef void init(self,
707                   int N,
708                   double h,
709                   double* Hriv,
710                   double* Haq,
711                   double* Triv,
712                   double* Taq,
713                   int Ntimes,
714                   double dt,
715                   double t0,
716                   double tf,
717                   int Nl,
718                   double* borders,

```

```

719         double* depths_meas,
720         int nb_meas):
721
722     self.N = N
723     self.geo = Geometry()
724     self.geo.init(N)
725     self.geo.regular(h)
726
727     self.Hriv = QuickInterpol()
728     self.Hriv.init(Ntimes,dt,t0,tf,Hriv)
729     self.Haq = QuickInterpol()
730     self.Haq.init(Ntimes,dt,t0,tf,Haq)
731     self.Triv = QuickInterpol()
732     self.Triv.init(Ntimes,dt,t0,tf,Triv)
733     self.Taq = QuickInterpol()
734     self.Taq.init(Ntimes,dt,t0,tf,Taq)
735
736     self.params = StratifiedParams()
737     self.params.init(Nl,borders,self.geo)
738
739     self.Umatrix_H = Umatrix()
740     self.Umatrix_T = Umatrix()
741     self.Vmatrix_T = Vmatrix()
742
743     self.Hz = <double*> malloc((self.N+1) * sizeof(double))
744     self.H = <double*> malloc(self.N * sizeof(double))
745     self.T = <double*> malloc(self.N * sizeof(double))
746
747     self.I = Tridiag()
748     self.I.init(N)
749     self.I.identity()
750
751     self.A = Tridiag()
752     self.A.init(N)
753
754     self.depths_meas = depths_meas
755     self.nb_meas = nb_meas
756
757     #updates static paremeters and associated objects
758     cdef void update_params(self,double* Ll, double* Cl, double* Kl, double* Sl):
759         self.params.update_layers_params(Ll,Cl,Kl,Sl)
760         self.params.compute()
761         self.Umatrix_T.init(self.N,self.geo,self.params.L,self.params.C)
762         self.Umatrix_T.compute()
763         self.Vmatrix_T.init(self.N,self.geo,self.params.L,self.params.C,self.params.K
764     )
765         self.Umatrix_H.init(self.N,self.geo,self.params.K,self.params.S)
766         self.Umatrix_H.compute()
767
768     #computes interpol_index and interpol_weights
769     cdef void prepare_interpol_T(self):
770
771         self.interpol_index = <int*> malloc(self.nb_meas * sizeof(int))
772         self.interpol_weights = <double*> malloc(self.nb_meas * sizeof(double))
773         cdef int i, a, b, m
774         cdef double e, d
775
776         for i in range(self.nb_meas):
777
778             d = self.depths_meas[i]
779
780             if d <= self.geo.depth_c[0]:
781                 self.interpol_index[i] = 0
782                 self.interpol_weights[i] = 1
783             elif d >= self.geo.depth_c[self.N-1]:
784                 self.interpol_index[i] = self.N-2
785                 self.interpol_weights[i] = 0
786             else:

```

```

786         a = 0
787         b = self.N
788         while b-a>1:
789             m = (a+b)//2
790             if self.depths_meas[i] < self.geo.depth_c[m]:
791                 b = m
792             else:
793                 a = m
794         e = (d-self.geo.depth_c[a])*(self.geo.depth_c[a+1]-self.geo.depth_c[a
795 ])**(-1)
796         self.interpol_index[i] = a
797         self.interpol_weights[i] = 1-e
798
799 #computes hydraulic gradient
800 cdef void compute_Hz(self,double hriv, double haq):
801     self.Hz[0] = (self.H[0]-hriv)*(self.geo.spacing[0])**(-1)
802     cdef int i
803     for i in range(1,self.N):
804         self.Hz[i] = (self.H[i]-self.H[i-1])*(self.geo.spacing[i])**(-1)
805         self.Hz[self.N] = (haq-self.H[self.N-1])*(self.geo.spacing[self.N])**(-1)
806
807 #One Step Implicit Euler
808 #computes the next T and H at t + dt
809 cdef void OSIEuler(self,double t, double dt):
810
811     #boundaries parameters
812     cdef double hriv = self.Hriv.eval(t+dt)
813     cdef double haq = self.Haq.eval(t+dt)
814     cdef double triv = self.Triv.eval(t+dt)
815     cdef double taq = self.Taq.eval(t+dt)
816
817     cdef double* aux = <double*> malloc(self.N * sizeof(double))
818     cdef int i
819
820     #hydraulic boundary conditions
821     aux[0] = dt*self.Umatrix_H.B_U[0]*hriv + self.H[0]
822     for i in range(1,self.N-1):
823         aux[i] = self.H[i]
824     aux[self.N-1] = dt*self.Umatrix_H.B_U[1]*haq + self.H[self.N-1]
825
826     #hydraulic conduction matrix
827     self.A.copy(self.Umatrix_H.Umat.mat)
828     self.A.scalarmul(-dt)
829     self.A.add(self.I.mat,self.A.mat)
830
831     free(self.H)
832     #computes H[t+dt]
833     self.H = self.A.solve(aux)
834
835     #heat exchange matrix
836     self.compute_Hz(hriv,haq)
837     self.Vmatrix_T.compute(self.Hz)
838     self.A.add(self.Umatrix_T.Umat.mat,self.Vmatrix_T.Vmat.mat)
839     self.A.scalarmul(-dt)
840     self.A.add(self.I.mat,self.A.mat)
841
842     #heat boundary conditions
843     aux[0] = dt*(self.Umatrix_T.B_U[0]+self.Vmatrix_T.B_V[0])*triv + self.T[0]
844     for i in range(1,self.N-1):
845         aux[i] = self.T[i]
846     aux[self.N-1] = dt*(self.Umatrix_T.B_U[1]+self.Vmatrix_T.B_V[1])*taq + self.
847     T[self.N-1]
848
849     free(self.T)
850     #computes T[t+dt]
851     self.T = self.A.solve(aux)
852     free(aux)

```

```

852 #One Step Heun
853 #computes the next T and H at t + dt
854 cdef void OSHeun(self, double t, double dt):
855
856     #boundaries parameters
857     cdef double hriv0 = self.Hriv.eval(t)
858     cdef double haq0 = self.Haq.eval(t)
859     cdef double triv0 = self.Triv.eval(t)
860     cdef double taq0 = self.Taq.eval(t)
861
862     cdef double hriv = self.Hriv.eval(t+dt)
863     cdef double haq = self.Haq.eval(t+dt)
864     cdef double triv = self.Triv.eval(t+dt)
865     cdef double taq = self.Taq.eval(t+dt)
866
867     cdef double* aux = <double*> malloc(self.N * sizeof(double))
868     cdef int i
869
870     cdef double* f = self.Umatrix_H.Umat.dot(self.H)
871
872     #hydraulic boundary conditions
873     aux[0] = 0.5*dt*self.Umatrix_H.B_U[0]*(hriv0+hriv) + self.H[0] + 0.5*dt*f[0]
874     for i in range(1, self.N-1):
875         aux[i] = self.H[i] + 0.5*dt*f[i]
876     aux[self.N-1] = 0.5*dt*self.Umatrix_H.B_U[1]*(haq0+haq) + self.H[self.N-1] +
0.5*dt*f[self.N-1]
877     free(f)
878
879     #hydraulic conduction matrix
880     self.A.copy(self.Umatrix_H.Umat.mat)
881     self.A.scalarmul(-0.5*dt)
882     self.A.add(self.I.mat, self.A.mat)
883
884     free(self.H)
885     #computes H[t+dt]
886     self.H = self.A.solve(aux)
887
888     #heat exchange matrix
889     self.A.add(self.Umatrix_T.Umat.mat, self.Vmatrix_T.Vmat.mat)
890     f = self.A.dot(self.T)
891
892     cdef double B_U0 = self.Umatrix_T.B_U[0]
893     cdef double B_V0 = self.Vmatrix_T.B_V[0]
894     cdef double B_U = self.Umatrix_T.B_U[1]
895     cdef double B_V = self.Vmatrix_T.B_V[1]
896
897     self.compute_Hz(hriv, haq)
898     self.Vmatrix_T.compute(self.Hz)
899     self.A.add(self.Umatrix_T.Umat.mat, self.Vmatrix_T.Vmat.mat)
900     self.A.scalarmul(-0.5*dt)
901     self.A.add(self.I.mat, self.A.mat)
902
903     #heat boundary conditions
904     aux[0] = 0.5*dt*((B_U0+B_V0)*triv0+(self.Umatrix_T.B_U[0]+self.Vmatrix_T.B_V
[0])*triv) + self.T[0] + 0.5*dt*f[0]
905     for i in range(1, self.N-1):
906         aux[i] = self.T[i] + 0.5*dt*f[i]
907     aux[self.N-1] = 0.5*dt*((B_U+B_V)*taq0+(self.Umatrix_T.B_U[1]+self.Vmatrix_T.
B_V[1])*taq) + self.T[self.N-1] + 0.5*dt*f[self.N-1]
908     free(f)
909     free(self.T)
910     #computes T[t+dt]
911     self.T = self.A.solve(aux)
912     free(aux)
913
914 #One Time Solve
915 #computes T and H at tf
916 def OTSolve(self, double t0, double tf, double dt, bint autostep = False):

```



```

917     cdef double t = t0
918     while t < tf:
919         if autostep:
920             #adaptive step size parameters
921             dt = self.stepscaler(t,dt)
922             self.norm_H0 = self.norm_H1
923             self.norm_H1 = norm(self.H,self.N,id=self.norm_id)
924             self.norm_T0 = self.norm_T1
925             self.norm_T1 = norm(self.T,self.N,id=self.norm_id)
926         if t + dt > tf:
927             dt = tf - t
928             self.OSHeun(t,dt)
929             t = tf + 1
930         else:
931             self.OSHeun(t,dt)
932             t = t + dt
933
934     cdef void set_H(self,double* H0):
935         cdef int i
936         for i in range(self.N):
937             self.H[i] = H0[i]
938
939     cdef void set_T(self,double* T0):
940         cdef int i
941         for i in range(self.N):
942             self.T[i] = T0[i]
943
944     def init_stepscaler(self, double atol_H, double rtol_H, double atol_T, double
rtol_T, int norm_id):
945         self.norm_id = norm_id
946         self.norm_H0 = norm(self.H,self.N,id=norm_id)
947         self.norm_T0 = norm(self.T,self.N,id=norm_id)
948         self.norm_H1 = self.norm_H0
949         self.norm_T1 = self.norm_T0
950         self.atol_H = atol_H
951         self.rtol_H = rtol_H
952         self.atol_T = atol_T
953         self.rtol_T = rtol_T
954
955     #adapts solver time step
956     def stepscaler(self, double t, double dt):
957
958         cdef int i
959         cdef double* aux0_H = <double*> malloc(self.N * sizeof(double))
960         cdef double* aux0_T = <double*> malloc(self.N * sizeof(double))
961         cdef double* aux1_H = <double*> malloc(self.N * sizeof(double))
962         cdef double* aux1_T = <double*> malloc(self.N * sizeof(double))
963
964         for i in range(self.N):
965             aux0_H[i] = self.H[i]
966             aux0_T[i] = self.T[i]
967             aux1_H[i] = self.H[i]
968             aux1_T[i] = self.T[i]
969
970         #computes Euler predictions
971         self.OSIEuler(t,dt)
972         cdef double* H_I Euler = self.H
973         cdef double* T_I Euler = self.T
974
975         self.H = aux0_H
976         self.T = aux0_T
977         self.compute_Hz(self.Hriv.eval(t),self.Haq.eval(t))
978         self.Vmatrix_T.compute(self.Hz)
979
980         #computes Heun predictions
981         self.OSHeun(t,dt)
982         cdef double* H_Heun = self.H
983         cdef double* T_Heun = self.T

```

```

984     self.H = aux1_H
985     self.T = aux1_T
986
987
988     #time step adapted according to the prediction error
989     #error estimated with the difference between Euler and Heun predictions
990     cdef double dt_H = dt*((self.atol_H + self.rtol_H*max(self.norm_H0,self.
991 norm_H1)) * distance(H_IEuler,H_Heun,self.N,id=self.norm_id)**(-1))**(0.5)
992     cdef double dt_T = dt*((self.atol_T + self.rtol_T*max(self.norm_T0,self.
993 norm_T1)) * distance(T_IEuler,T_Heun,self.N,id=self.norm_id)**(-1))**(0.5)
994
995     self.compute_Hz(self.Hriv.eval(t),self.Haq.eval(t))
996     self.Vmatrix_T.compute(self.Hz)
997
998     free(H_IEuler)
999     free(H_Heun)
1000     free(T_IEuler)
1001     free(T_Heun)
1002
1003     return min(dt_H,dt_T)
1004
1005 #computes H and T at different times
1006 cdef void solve(self, Matrix memo, int ntimes, double* times, double t0, double
1007 dt, bint interpol_T = False, bint autostep = False):
1008
1009     cdef double t = t0
1010     cdef double val, e
1011     cdef int i, j, a
1012
1013     self.compute_Hz(self.Hriv.eval(t0),self.Haq.eval(t0))
1014     self.Vmatrix_T.compute(self.Hz)
1015
1016     for i in range(ntimes):
1017
1018         self.OTSolve(t,times[i],dt,autostep = autostep)
1019
1020         #to only store temperatures at measures depths
1021         if interpol_T:
1022             for j in range(self.nb_meas):
1023                 a = self.interpol_index[j]
1024                 e = self.interpol_weights[j]
1025                 val = e*self.T[a] + (1-e)*self.T[a+1]
1026                 memo.set(i,j,val)
1027
1028         #to keep all temperatures and hydraulic charges
1029         else:
1030             memo.slicerowset(i,0,self.N,self.H)
1031             memo.slicerowset(i,self.N,2*self.N,self.T)
1032
1033         t = times[i]
1034
1035 cdef void free(self, bint interpol_T = False):
1036     self.Umatrix_T.free()
1037     self.Umatrix_H.free()
1038     self.Vmatrix_T.free()
1039     self.A.free()
1040     self.I.free()
1041     self.geo.free()
1042     self.params.free()
1043     self.Hriv.free()
1044     self.Haq.free()
1045     self.Triv.free()
1046     self.Taq.free()
1047     free(self.Hz)
1048     free(self.H)
1049     free(self.T)
1050     free(self.depths_meas)
1051     if interpol_T:

```

```

1049         free(self.interpol_index)
1050         free(self.interpol_weights)
1051
1052 #function to call in a python script to test StratifiedModel
1053 cpdef test_SM(int N,
1054               double h,
1055               double[:] Hriv,
1056               double[:] Haq,
1057               double[:] Triv,
1058               double[:] Taq,
1059               int Ntimes,
1060               double dt,
1061               double t0,
1062               double tf,
1063               int Nl,
1064               double[:] borders,
1065               double[:] depths_meas,
1066               double[:] Ll,
1067               double[:] Cl,
1068               double[:] Kl,
1069               double[:] Sl,
1070               double[:] H0,
1071               double[:] T0,
1072               int ntimes,
1073               double[:] times,
1074               double t02,
1075               double step,
1076               double atol_H,
1077               double rtol_H,
1078               double atol_T,
1079               double rtol_T,
1080               bint interpol_T = False,
1081               bint autostep = False):
1082     #conversion of python objects into C objects
1083     cdef double* Hriv2 = numpy_to_C(Hriv)
1084     cdef double* Haq2 = numpy_to_C(Haq)
1085     cdef double* Triv2 = numpy_to_C(Triv)
1086     cdef double* Taq2 = numpy_to_C(Taq)
1087     cdef double* borders2 = numpy_to_C(borders)
1088     cdef double* depths_meas2 = numpy_to_C(depths_meas)
1089     cdef double* Ll2 = numpy_to_C(Ll)
1090     cdef double* Cl2 = numpy_to_C(Cl)
1091     cdef double* Kl2 = numpy_to_C(Kl)
1092     cdef double* Sl2 = numpy_to_C(Sl)
1093     cdef double* H02 = numpy_to_C(H0)
1094     cdef double* T02 = numpy_to_C(T0)
1095     cdef double* times2 = numpy_to_C(times)
1096     #solver tool
1097     cdef StratifiedModel sm = StratifiedModel()
1098     sm.init(N,h,Hriv2,Haq2,Triv2,Taq2,Ntimes,dt,t0,tf,Nl,borders2,depths_meas2,
1099           depths_meas.shape[0])
1100     sm.update_params(Ll2,Cl2,Kl2,Sl2)
1101     sm.set_T(T02)
1102     sm.set_H(H02)
1103     if autostep:
1104         sm.init_stepscaler(atol_H,rtol_H,atol_T,rtol_T,2)
1105     cdef Matrix memo = Matrix()
1106     if interpol_T:
1107         memo.init(ntimes,len(depths_meas))
1108         sm.prepare_interpol_T()
1109         sm.solve(memo,ntimes,times2,t02,step,interpol_T=True,autostep=autostep)
1110         sm.free(interpol_T=True)
1111     else:
1112         memo.init(ntimes,2*N)
1113         sm.solve(memo,ntimes,times2,t02,step,interpol_T=False,autostep=autostep)
1114         sm.free(interpol_T=False)
1115     free(times2)
1116     free(H02)

```

```

1116     free(T02)
1117     A = memo.convert_to_numpy()
1118     memo.free()
1119     return A
1120
1121 ###Bayesian inference
1122
1123 #sets the random seed of rand using the clock
1124 srand(time(NULL))
1125
1126 #uniformly draws a sample from [0,1]
1127 cdef double random_uniform_std():
1128     cdef double r = rand()
1129     return (<double> r) * (<double> RAND_MAX)**(-1)
1130
1131 #draws a standard gaussian sample
1132 #uses a polar version of the Box-Muller transformation
1133 cdef double random_normal_std():
1134     cdef double x1, x2, w
1135     w = 2.0
1136     while (w >= 1.0):
1137         x1 = 2.0 * random_uniform_std() - 1.0
1138         x2 = 2.0 * random_uniform_std() - 1.0
1139         w = x1 * x1 + x2 * x2
1140     w = ((-2.0 * log(w)) * w**(-1)) ** 0.5
1141     return x1 * w
1142
1143 #uniformly draws a sample from [a,b]
1144 cdef double random_uniform(double a, double b):
1145     return a + (b-a)*random_uniform_std()
1146
1147 #draws a gaussian sample of law (mean, sigma)
1148 cdef double random_normal(double mean, double sigma):
1149     return mean + sigma*random_normal_std()
1150
1151 #probability of a set of consecutively numbered events
1152 cdef double slicesum(double* probas, int a, int b):
1153     cdef double prob = 0
1154     cdef int i
1155     for i in range(a,b):
1156         prob = prob + probas[i]
1157     return prob
1158
1159 #to efficiently draw a sample from a finite distribution
1160 #the idea: decompose a draw in a sequence of binomial experiments
1161 #in practice, we use a binary tree
1162 cdef class DiscreteRandomVariable:
1163     cdef int nb_events
1164     #probabilities
1165     cdef double* proba
1166     cdef int tree_depth
1167     #probabilities tree stored in an array
1168     cdef double* tree
1169     cdef int result
1170
1171     cdef void init(self, int nb_events, double* proba):
1172         self.nb_events = nb_events
1173         self.proba = proba
1174         self.tree_depth = 1 + <int> (log(nb_events) * log(2)**(-1))
1175         self.tree = <double*> malloc((2**(self.tree_depth+1)) * sizeof(double))
1176
1177     #to build the tree
1178     cdef void update_leaf(self, int a, int b, int id, int level, double previous):
1179         cdef int m = (b+a)//2
1180         if level == -1:
1181             self.tree[0] = 1
1182         else:
1183             self.tree[2**(level+1)-1+id] = slicesum(self.proba,a,b) * previous**(-1)

```

```

1184         if b-a>1:
1185             self.update_leaf(a, m, 2*id, level+1, slicesum(self.proba,a,b))
1186             self.update_leaf(m, b, 2*id+1, level+1, slicesum(self.proba,a,b))
1187 cdef void update(self):
1188     self.update_leaf(0, self.nb_events, 0, -1, 1)
1189
1190 #to use the tree for random generation
1191 cdef void moove(self, int a, int b, int id, int level):
1192     cdef int m = (a+b)//2
1193     cdef double p_left = self.tree[2**((level+2)-1+2*id)]
1194
1195     if b-a>1:
1196         if random_uniform_std()<p_left:
1197             self.moove(a,m,2*id,level+1)
1198         else:
1199             self.moove(m,b,2*id+1,level+1)
1200     else:
1201         self.result = a
1202 cdef int generate(self):
1203     self.moove(0,self.nb_events,0,-1)
1204
1205 cdef void free(self):
1206     free(self.tree)
1207
1208 cdef class MCMC:
1209     cdef int nb_layers
1210     #total number of parameters (of all layers)
1211     cdef int nb_params
1212     #number of Markov chains
1213     cdef int nb_chains
1214     #number of random walk steps
1215     cdef int nb_iter
1216     #number of ordered pairs
1217     cdef int nb_opairs
1218     #number of crossover probabilities
1219     cdef int nCR
1220     #number of a state dimensions
1221     cdef int nb_dim
1222     #static paremeters for random generation
1223     cdef double cn
1224     cdef double c
1225     cdef double t0
1226     #boolean arrays to keep track of selected elements (ex:chains or dimensions)
1227     cdef bint* dim_selector
1228     cdef bint* aux_selector
1229     cdef int* opairs_selector
1230     #ranges of physical parameters
1231     cdef double* range_L
1232     cdef double* range_C
1233     cdef double* range_K
1234     cdef double* range_S
1235     cdef double* range_sigma
1236     #layers parameters
1237     cdef double* L1
1238     cdef double* C1
1239     cdef double* K1
1240     cdef double* S1
1241     #measure times
1242     cdef double* times
1243     #crossover probabilities
1244     cdef double* probas
1245     #records the random walk
1246     cdef Matrix past
1247     #stores real physical measures
1248     cdef Matrix meas
1249     #stores current temperature predictions given by SM
1250     cdef Matrix pred
1251     #stores chain energies

```

```

1252 cdef Matrix energy
1253 cdef StratifiedModel sm
1254
1255 cdef void init(self,
1256               StratifiedModel sm,
1257               int nb_chains,
1258               int nb_iter,
1259               Matrix meas,
1260               double* times,
1261               double t0,
1262               double cn, double c,
1263               int nb_opairs,
1264               int nCR,
1265               double* range_L,
1266               double* range_C,
1267               double* range_K,
1268               double* range_S,
1269               double* range_sigma):
1270     self.nb_iter = nb_iter
1271     self.times = times
1272     self.t0 = t0
1273     self.sm = sm
1274     self.nb_layers = sm.params.Nl
1275     self.nb_params = 4*sm.params.Nl+1
1276     self.nb_chains = nb_chains
1277     self.past = Matrix()
1278     self.past.init(nb_iter, self.nb_params * nb_chains)
1279     self.meas = meas
1280     self.pred = Matrix()
1281     self.pred.init(meas.n,meas.m)
1282     self.cn = cn
1283     self.c = c
1284     self.nb_opairs = nb_opairs
1285     self.nCR = nCR
1286     self.probas = <double*> malloc(nCR * sizeof(double))
1287     self.range_L = range_L
1288     self.range_C = range_C
1289     self.range_K = range_K
1290     self.range_S = range_S
1291     self.range_sigma = range_sigma
1292     self.energy = Matrix()
1293     self.energy.init(nb_iter,nb_chains)
1294     self.dim_selector = <bint*> malloc(self.nb_params * sizeof(bint))
1295     self.opairs_selector = <int*> malloc(2*nb_opairs * sizeof(int))
1296     self.aux_selector = <bint*> malloc(nb_chains * sizeof(bint))
1297     self.Ll = <double*> malloc(self.nb_layers * sizeof(double))
1298     self.Cl = <double*> malloc(self.nb_layers * sizeof(double))
1299     self.Kl = <double*> malloc(self.nb_layers * sizeof(double))
1300     self.Sl = <double*> malloc(self.nb_layers * sizeof(double))
1301
1302 #assigns parameter j of chain i at given time
1303 cdef void set_chain_param(self, int time, int i, int j, double val):
1304     self.past.set(time, i * self.nb_params + j, val)
1305
1306 #returns parameter j of chain i at given time
1307 cdef double get_chain_param(self, int time, int i, int j):
1308     return self.past.get(time, i * self.nb_params + j)
1309
1310 #updateq layer parameters
1311 cdef void params_for_SM(self,int time, int id_chain):
1312     cdef int i
1313     for i in range(self.nb_layers):
1314         #conductivity
1315         self.Ll[i] = self.get_chain_param(time, id_chain, 4*i + 1)
1316         #thermal capacity
1317         self.Cl[i] = self.get_chain_param(time, id_chain, 4*i + 2)
1318         #permeability
1319         self.Kl[i] = self.get_chain_param(time, id_chain, 4*i + 3)

```

```

1320     #hydraulic capacity
1321     self.Sl[i] = self.get_chain_param(time, id_chain, 4*i + 4)
1322
1323 cdef void init_chains(self):
1324     cdef int i, j
1325     cdef double sigma, L, C, K, S
1326     for i in range(self.nb_layers):
1327         for j in range(self.nb_chains):
1328             #sigma
1329             sigma = random_uniform(self.range_sigma[0], self.range_sigma[1])
1330             self.set_chain_param(0, j, 0, sigma)
1331             #conductivity
1332             L = random_uniform(self.range_L[2*i], self.range_L[2*i+1])
1333             self.set_chain_param(0, j, 4*i + 1, L)
1334             #thermal capacity
1335             C = random_uniform(self.range_C[2*i], self.range_C[2*i+1])
1336             self.set_chain_param(0, j, 4*i + 2, C)
1337             #permeability
1338             K = random_uniform(self.range_K[2*i], self.range_K[2*i+1])
1339             self.set_chain_param(0, j, 4*i + 3, K)
1340             #hydraulic capacity
1341             S = random_uniform(self.range_S[2*i], self.range_S[2*i+1])
1342             self.set_chain_param(0, j, 4*i + 4, S)
1343
1344 #keeps chains within the bounded domain defined by parameters ranges
1345 cdef void mod(self, int time, int id_chain):
1346     cdef int i
1347     cdef double sigma, L, C, K, S, r, frac
1348     cdef int n
1349     cdef int j = id_chain
1350     for i in range(self.nb_layers):
1351         #sigma
1352         sigma = self.get_chain_param(time, j, 0)
1353         r = abs(sigma - self.range_sigma[2*i]) * (self.range_sigma[2*i+1] - self.
range_sigma[2*i])**(-1)
1354         n = <int> r
1355         frac = r - n
1356         sigma = self.range_sigma[2*i] + frac*(self.range_sigma[2*i+1] - self.
range_sigma[2*i])
1357         self.set_chain_param(time, j, 0, sigma)
1358         #conductivity
1359         L = self.get_chain_param(time, j, 4*i + 1)
1360         r = abs(L - self.range_L[2*i]) * (self.range_L[2*i+1] - self.range_L[2*i
])**(-1)
1361         n = <int> r
1362         frac = r - n
1363         L = self.range_L[2*i] + frac*(self.range_L[2*i+1] - self.range_L[2*i])
1364         self.set_chain_param(time, j, 4*i + 1, L)
1365         #thermal capacity
1366         C = self.get_chain_param(time, j, 4*i + 2)
1367         r = abs(C - self.range_C[2*i]) * (self.range_C[2*i+1] - self.range_C[2*i
])**(-1)
1368         n = <int> r
1369         frac = r - n
1370         C = self.range_C[2*i] + frac*(self.range_C[2*i+1] - self.range_C[2*i])
1371         self.set_chain_param(time, j, 4*i + 2, C)
1372         #permeability
1373         K = self.get_chain_param(time, j, 4*i + 3)
1374         r = abs(K - self.range_K[2*i]) * (self.range_K[2*i+1] - self.range_K[2*i
])**(-1)
1375         n = <int> r
1376         frac = r - n
1377         K = self.range_K[2*i] + frac*(self.range_K[2*i+1] - self.range_K[2*i])
1378         self.set_chain_param(time, j, 4*i + 3, K)
1379         #hydraulic capacity
1380         S = self.get_chain_param(time, j, 4*i + 4)
1381         r = abs(S - self.range_S[2*i]) * (self.range_S[2*i+1] - self.range_S[2*i
])**(-1)

```

```

1382         n = <int> r
1383         frac = r - n
1384         S = self.range_S[2*i] + frac*(self.range_S[2*i+1] - self.range_S[2*i])
1385         self.set_chain_param(time, j, 4*i + 4, S)
1386
1387     #init with approximated hydraulic steady state solution
1388     cdef void init_H(self):
1389
1390         cdef int i
1391         cdef double Itot = 0
1392         for i in range(self.sm.N):
1393             Itot = Itot + self.sm.geo.width[i] * self.sm.params.K[i]**(-1)
1394         cdef double Hz0 = (self.sm.Haq.eval(self.t0) - self.sm.Hriv.eval(self.t0)) *
1395         Itot**(-1)
1396
1397         self.sm.H[0] = self.sm.Hriv.eval(self.t0) + Hz0 * self.sm.geo.width[0] * self
1398         .sm.params.K[0]**(-1)
1399         for i in range(1,self.sm.N):
1400             self.sm.H[i] = self.sm.H[i-1] + Hz0 * self.sm.geo.width[i] * self.sm.
1401         params.K[i]**(-1)
1402
1403     #init with approximated thermal steady state solution
1404     cdef void init_T(self):
1405
1406         cdef int i
1407         cdef double* exponan = <double*> malloc(self.sm.N * sizeof(double))
1408         cdef double Itot = 0
1409         cdef double cw = self.sm.Vmatrix_T.cw
1410         cdef double rhow = self.sm.Vmatrix_T.rhow
1411
1412         exponan[0] = self.sm.geo.width[0]*(cw*rhow*self.sm.params.K[0]*(self.sm.H[0]-
1413         self.sm.Hriv.eval(self.t0))
1414         *(self.sm.geo.spacing[0]*self.sm.params.L[0])**(-1))
1415
1416         for i in range(1,self.sm.N):
1417             exponan[i] = exponan[i-1] + self.sm.geo.width[i]*(cw*rhow*self.sm.params.
1418         K[i]*(self.sm.H[i]-self.sm.H[i-1])
1419         *(self.sm.geo.spacing[i]*self.sm.params.L[i
1420         ])**(-1))
1421
1422         for i in range(self.sm.N):
1423             Itot = Itot + self.sm.geo.width[i] * exp(-exponan[i])
1424
1425         cdef double Tz0 = (self.sm.Taq.eval(self.t0) - self.sm.Triv.eval(self.t0)) *
1426         Itot**(-1)
1427
1428         self.sm.T[0] = self.sm.Triv.eval(self.t0) + Tz0 * self.sm.geo.width[0] * exp
1429         (-exponan[0])
1430
1431         for i in range(1,self.sm.N):
1432             self.sm.T[i] = self.sm.T[i-1] + Tz0 * self.sm.geo.width[i] * exp(-exponan
1433         [i])
1434
1435         free(exponan)
1436
1437     #init crossover probabilities
1438     cdef void init_probab(self):
1439         cdef int i
1440         for i in range(self.nCR):
1441             self.probas[i] = (<double> self.nCR)**(-1)
1442
1443     cdef void predict(self, bint autostep = False, double dt = 300):
1444         self.sm.solve(self.pred,self.meas.n,self.times,self.t0,dt,interpol_T=True,
1445         autostep=autostep)
1446
1447     cdef void compute_energy(self, int time, int id_chain):
1448         cdef double e = 0
1449         cdef int i, j

```



```

1440         cdef double sigma = self.get_chain_param(time, id_chain, 0)
1441         for i in range(self.meas.n):
1442             for j in range(self.meas.m):
1443                 e = e + (self.meas.get(i, j) - self.pred.get(i, j))**2
1444             self.energy.set(time, id_chain, 0.5*e*sigma**(-2)+self.meas.n*self.meas.m*log(
sigma))
1445
1446     cdef double compute_acceptancy(self, int time, int id_chain):
1447         cdef double e0 = self.energy.get(time-1, id_chain)
1448         cdef double e1 = self.energy.get(time, id_chain)
1449         if e1<=e0:
1450             return 1
1451         else:
1452             return exp(e0-e1)
1453
1454     #select crossover dimensions
1455     cdef void crossover(self):
1456
1457         cdef int a = 0
1458         cdef int b = self.nCR
1459         cdef int m, i
1460         cdef double rnd, ceil
1461         cdef bint onetrue = False
1462
1463         #rmk: instead you could use DiscreteRandomVariable to replace this loop
1464         while b-a > 1:
1465             m = (a+b)//2
1466             p = slicesum(self.probas, a, m)*(slicesum(self.probas, a, b))**(-1)
1467             rnd = random_uniform_std()
1468             if rnd < p:
1469                 b = m
1470             else:
1471                 a = m
1472         ceil = (a + 1) * self.nCR**(-1)
1473
1474         self.nb_dim = 0
1475         for i in range(self.nb_params):
1476             rnd = random_uniform_std()
1477             if rnd < ceil:
1478                 self.dim_selector[i] = True
1479                 onetrue = True
1480                 self.nb_dim = self.nb_dim + 1
1481             else:
1482                 self.dim_selector[i] = False
1483
1484         if not onetrue:
1485             rnd = self.nb_params * random_uniform_std()
1486             self.dim_selector[<int> rnd] = True
1487             self.nb_dim = 1
1488
1489     cdef void opairs_selection(self):
1490
1491         cdef int i, j
1492         for i in range(self.nb_chains):
1493             self.aux_selector[i] = True
1494
1495         for i in range(self.nb_opairs):
1496
1497             j = <int> (self.nb_chains * random_uniform_std())
1498             while not self.aux_selector[j]:
1499                 j = j + 1
1500                 if j > self.nb_chains-1:
1501                     j = 0
1502             self.opairs_selector[2*i] = j
1503             self.aux_selector[j] = False
1504
1505             j = <int> (self.nb_chains * random_uniform_std())
1506             while not self.aux_selector[j]:

```

```

1507         j = j + 1
1508         if j > self.nb_chains-1:
1509             j = 0
1510         self.opairs_selector[2*i+1] = j
1511         self.aux_selector[j] = False
1512
1513 #random generators used in DREAMS
1514 cdef double alpha(self):
1515     return random_normal(0,self.cn)
1516 cdef double beta(self,double gamma = 2.38*2**(-0.5)):
1517     cdef double inf = (1-self.c)*gamma*(self.nb_opairs*self.nb_dim)**(-0.5)
1518     cdef double sup = (1+self.c)*gamma*(self.nb_opairs*self.nb_dim)**(-0.5)
1519     return random_uniform(inf,sup)
1520
1521 #new chain state generation
1522 cdef void generate(self,int time, int id_chain):
1523     cdef int i,j
1524     cdef double a, b, s
1525     cdef int id1, id2
1526     for i in range(self.nb_params):
1527         s = 0
1528         if self.dim_selector[i]:
1529             a = self.alpha()
1530             b = self.beta()
1531             for j in range(self.nb_opairs):
1532                 id1 = self.opairs_selector[2*j]
1533                 id2 = self.opairs_selector[2*j+1]
1534                 s = s + self.get_chain_param(time,id2,i) - self.get_chain_param(
time,id1,i)
1535             s = a + b*s
1536             s = s + self.get_chain_param(time,id_chain,i)
1537             self.set_chain_param(time+1,id_chain,i,s)
1538
1539 #when new chain state is not accepted, rewrites the previous one
1540 cdef void rewrite(self,int time, int id_chain):
1541     cdef int i
1542     cdef double past_val
1543     for i in range(self.nb_params):
1544         past_val = self.get_chain_param(time-1,id_chain,i)
1545         self.set_chain_param(time,id_chain,i,past_val)
1546
1547 #rmk: to rigorously respect symmetric increments
1548 #you should modify the last two intricated loops
1549 cdef void walk(self,bint autostep=False):
1550
1551     cdef int i, k
1552     cdef double rnd
1553     cdef double accept = 0
1554     self.init_chains()
1555     self.init_probab()
1556     for i in range(self.nb_chains):
1557         self.params_for_SM(0,i)
1558         self.sm.update_params(self.L1,self.C1,self.K1,self.S1)
1559         self.init_H()
1560         self.init_T()
1561         self.predict(autostep=autostep)
1562         self.compute_energy(0,i)
1563
1564     for k in range(self.nb_iter-1):
1565         for i in range(self.nb_chains):
1566             self.crossover()
1567             self.opairs_selection()
1568             self.generate(k,i)
1569             self.mod(k+1,i)
1570             self.params_for_SM(k+1,i)
1571             self.sm.update_params(self.L1,self.C1,self.K1,self.S1)
1572             self.init_H()
1573             self.init_T()

```

```

1574         self.predict(autostep=autostep)
1575         self.compute_energy(k+1,i)
1576         accept = self.compute_acceptancy(k+1,i)
1577         rnd = random_uniform_std()
1578         if rnd > accept:
1579             self.rewrite(k+1,i)
1580
1581     cdef void free(self):
1582         self.sm.free()
1583         self.past.free()
1584         self.pred.free()
1585         self.energy.free()
1586         free(self.probas)
1587         free(self.range_L)
1588         free(self.range_C)
1589         free(self.range_K)
1590         free(self.range_S)
1591         free(self.range_sigma)
1592         free(self.times)
1593         free(self.dim_selector)
1594         free(self.opairs_selector)
1595         free(self.aux_selector)
1596
1597 #function to call in a python script to test StratifiedModel
1598 def test_MCMC(int N,
1599             double h,
1600             double[:] Hriv,
1601             double[:] Haq,
1602             double[:] Triv,
1603             double[:] Taq,
1604             int Ntimes,
1605             double dt,
1606             double t0,
1607             double tf,
1608             int Nl,
1609             double[:] borders,
1610             double[:] depths_meas,
1611             int nb_chains,
1612             int nb_iter,
1613             int nb_layers,
1614             double[:, ::1] meas,
1615             double[:] times,
1616             double t0_solve,
1617             double cn,
1618             double c,
1619             int nb_opairs,
1620             int nCR,
1621             double[:] range_L,
1622             double[:] range_C,
1623             double[:] range_K,
1624             double[:] range_S,
1625             double[:] range_sigma,
1626             double atol_H,
1627             double rtol_H,
1628             double atol_T,
1629             double rtol_T,
1630             bint autostep = False):
1631
1632 #conversion to C arrays
1633 cdef double* Hriv_C = numpy_to_C(Hriv)
1634 cdef double* Haq_C = numpy_to_C(Haq)
1635 cdef double* Triv_C = numpy_to_C(Triv)
1636 cdef double* Taq_C = numpy_to_C(Taq)
1637 cdef double* borders_C = numpy_to_C(borders)
1638 cdef double* depths_meas_C = numpy_to_C(depths_meas)
1639 cdef Matrix meas_C = Matrix()
1640 meas_C.init(meas.shape[0],meas.shape[1])
1641 meas_C.extract_from_numpy(meas)

```

```

1642     cdef double* times_C = numpy_to_C(times)
1643     cdef double* range_L_C = numpy_to_C(range_L)
1644     cdef double* range_C_C = numpy_to_C(range_C)
1645     cdef double* range_K_C = numpy_to_C(range_K)
1646     cdef double* range_S_C = numpy_to_C(range_S)
1647     cdef double* range_sigma_C = numpy_to_C(range_sigma)
1648
1649     #physical model
1650     cdef StratifiedModel sm = StratifiedModel()
1651     sm.init(N,h,Hriv_C,Haq_C,Triv_C,Taq_C,Ntimes,dt,t0,tf,Nl,borders_C,depths_meas_C,
depths_meas.shape[0])
1652     if autostep:
1653         sm.init_stepscaler(atol_H,rtol_H,atol_T,rtol_T,2)
1654     sm.prepare_interpol_T()
1655
1656     #MCMC random walk
1657     cdef MCMC mcmc = MCMC()
1658     mcmc.init(sm,nb_chains,nb_iter,meas_C,times_C,t0_solve,cn,c,nb_opairs,nCR,
range_L_C,range_C_C,range_K_C,range_S_C,range_sigma_C)
1659     mcmc.walk(autostep=autostep)
1660
1661     return mcmc.past.convert_to_numpy()

```

#### 4.1.2 setup file (MOLO\_45\_setup.py)

```

1 from setuptools import Extension, setup
2 from Cython.Build import cythonize
3
4 ext_modules = [
5     Extension("MOLO_45",
6             sources=["MOLO_45.pyx"],
7             libraries=["m"] # Unix-like specific
8         )
9 ]
10
11 setup(name="MOLO_setup",
12       ext_modules=cythonize(ext_modules))
13
14 #After installing cython ...
15 #... to compile MOLO_45.pyx using linux ...
16 #... execute the command: python3 setup.py build_ext --inplace

```

#### 4.1.3 code de test du StratifiedModel (MOLO\_45\_test\_SM.py)

```

1 from MOLO_45 import test_SM
2 import numpy as np
3 import matplotlib.pyplot as plt
4
5 #number of main cells
6 N = 10
7 #ground layer height [m]
8 h = 0.4
9 #constant boundary parameters
10 Hriv = np.array([0.05,0.05],dtype=np.double)
11 Haq = np.array([0,0],dtype=np.double)
12 Triv = np.array([300,300],dtype=np.double)
13 Taq = np.array([290,290],dtype=np.double)
14 #number of samples provided for boundary parameters
15 Ntimes = 2
16 #sampling start
17 t0 = 0
18 #sampling end
19 tf = 3600
20 #sampling step
21 dt = tf
22 #number of layers
23 Nl = 2
24 #two layers separated by a 10 cm thick interlayer

```

```

25 #the second layer stops at at depth of 1 m
26 borders = np.array([0.15,0.25,1],dtype=np.double)
27 #three main measures at the depths of 10, 20 and 30 cm
28 depths_meas = np.array([0.1,0.2,0.3],dtype=np.double)
29 #layer parameters
30 L1 = np.array([3,3],dtype=np.double)
31 C1 = np.array([4*10**(6),4*10**(6)],dtype=np.double)
32 K1 = np.array([10**(-5),10**(-7)],dtype=np.double)
33 S1 = np.array([0.2,0.2],dtype=np.double)
34 #initial hydraulic and thermal conditions
35 H0 = 0.025*np.ones(N,dtype=np.double)
36 T0 = 295*np.ones(N,dtype=np.double)
37 #number of times at which H and T must be predicted
38 ntimes = 1
39 times = np.array([24*3600],dtype=np.double)
40 t02 = 0
41 #solver time step (adapted if autostep)
42 step = 0.1
43 #error control parameters if autostep
44 atol_H = 10**(-6)
45 rtol_H = 10**(-4)
46 atol_T = 10**(-6)
47 rtol_T = 10**(-4)
48
49 #solving discretized equations
50 result = test_SM(N,h,Hriv,Haq,Triv,Taq,Ntimes,dt,t0,tf,N1,borders,depths_meas,L1,C1,
    K1,S1,H0,T0,ntimes,times,t02,step,atol_H,rtol_H,atol_T,rtol_T,autostep=True)
51
52 #displaying hydraulic charge curve
53 plt.plot(np.linspace(0,h,N),result[0,:N])
54 plt.ylabel('hydraulic charge [m]')
55 plt.xlabel('depth [m]')
56 plt.show()
57
58 #displaying temperature curve
59 plt.figure()
60 plt.plot(np.linspace(0,h,N),result[0,N:],color='red')
61 plt.ylabel('temperature [K]')
62 plt.xlabel('depth [m]')
63 plt.show()

```

#### 4.1.4 code de test MCMC (MOLO\_45\_test\_MCMC.py)

```

1 from MOLO_45 import test_MCMC
2 import numpy as np
3 import matplotlib.pyplot as plt
4 import time
5
6 #number of main cells
7 N = 10
8 #ground layer height [m]
9 h = 0.4
10 #constant boundary parameters
11 Hriv = np.array([0.05,0.05],dtype=np.double)
12 Haq = np.array([0,0],dtype=np.double)
13 Triv = np.array([300,300],dtype=np.double)
14 Taq = np.array([290,290],dtype=np.double)
15 #number of samples provided for boundary parameters
16 Ntimes = 2
17 #sampling start
18 t0 = 0
19 #sampling end
20 tf = 3600
21 #sampling step
22 dt = tf
23 #number of layers
24 N1 = 1
25 #a layer 1meter thick

```

```

26 borders = np.array([1],dtype=np.double)
27 #three main measures at the depths of 10, 20 and 30 cm
28 depths_meas = np.array([0.1,0.2,0.3],dtype=np.double)
29 #number of MCMC chains
30 nb_chains = 5
31 #nb of walk steps
32 nb_iter = 1000
33 #predictions after a week
34 times = np.array([7*24*3600],dtype = np.double)
35 t0_solve = 0
36 #constant parameters for random generators of DREAMS
37 cn = 0.01
38 c = 0.1
39 #number of ordered pairs used to compute dX in DREAMS
40 np_opairs = 2
41 #number of crossover probabilities
42 nCR = 10
43 #physical parameters ranges
44 range_L = np.array([2,4],dtype = np.double)
45 range_C = 10**(6)*np.array([3,5],dtype = np.double)
46 range_K = np.array([10**(-8),10**(-4)],dtype = np.double)
47 range_S = np.array([0.1,0.3],dtype = np.double)
48 range_sigma = np.array([0.01,0.4],dtype = np.double)
49 #error control parameters if autostep
50 atol_H = 10**(-6)
51 rtol_H = 10**(-4)
52 atol_T = 10**(-6)
53 rtol_T = 10**(-4)
54
55 #Steady State solution
56 def SS(h,depths_meas,Hriv,Haq,Triv,Taq,
57       k_ref=10**(-5),
58       lambda_ref=3,
59       c_ref=4*10**(6),
60       s_ref=0.2,
61       cw = 4180.,
62       rhow = 1000.):
63     H_exact = (Haq[0]-Hriv[0])/h*depths_meas+Hriv[0]
64     gamma = -cw*rhow*k_ref*(Haq[0]-Hriv[0])/(h*lambda_ref)
65     alpha = (Triv[0]-Taq[0])/(1-np.exp(gamma*h))
66     beta = (Taq[1]-Triv[0]*np.exp(gamma*h))/(1-np.exp(gamma*h))
67     Tmeas = np.exp(gamma*depths_meas)*alpha+beta
68     Tmeas = Tmeas.reshape(1,len(Tmeas))
69     Tmeas = Tmeas.astype(np.double)
70     return Tmeas
71 #simulated measures
72 meas = SS(h,depths_meas,Hriv,Haq,Triv,Taq)
73
74 #MCMC at work
75 t0 = time.time()
76 past = test_MCMC(N,h,Hriv,Haq,Triv,Taq,Ntimes,dt,t0,tf,Nl,borders,depths_meas,
77                 nb_chains,nb_iter,0,meas,times,t0_solve,cn,c,np_opairs,nCR,range_L,range_C,range_K,
78                 range_S,range_sigma,atol_H,rtol_H,atol_T,rtol_T,autostep=False)
79 t1 = time.time()
80 print(f'execution time = {t1-t0} s')
81
82 #computing the average permeability encountered in the random walk
83 Kpast = np.empty(nb_chains*nb_iter)
84 for i in range(nb_iter):
85     for j in range(nb_chains):
86         Kpast[i*nb_chains+j] = past[i,5*j+3]
87 print(f'average K = {np.average(Kpast)} m^2')
88
89 #displaying logarithmic permeability histogram
90 plt.hist(-np.log10(Kpast),bins=30)
91 plt.axvline(x=5,color='red')
92 plt.xlabel('-log10(K)')
93 plt.ylabel('density')

```

```

92 locs, _ = plt.yticks()
93 plt.yticks(locs,np.round(locs/len(Kpast),3))
94 plt.show()

```

## 4.2 python : premiers programmes

### 4.2.1 modèle physique avec slicing numpy (M\_slicing\_python.py)

```

1 import numpy as np
2 import time
3 import matplotlib.pyplot as plt
4 import scipy.integrate
5
6 ##Discretization
7
8 def compute_U(D:np.array,
9               E:np.array,
10              W:np.array):
11     aux = D*E
12     sub_diag = aux[1:-1]
13     diag = -aux[:-1]-aux[1:]
14     sup_diag = aux[1:-1]
15
16     return W*(np.diag(sub_diag,k=-1)+np.diag(diag,k=0)+np.diag(sup_diag,k=1))
17
18 def compute_V(D:np.array,
19               E:np.array,
20              W:np.array,
21              J:np.array):
22     aux = D*E
23     sub_diag = J[2:-1]*aux[1:-1]
24     diag = J[:-2]*aux[:-1]-J[2:]*aux[1:]
25     sup_diag = -J[1:-2]*aux[1:-1]
26
27     return W*(np.diag(sub_diag,k=-1)+np.diag(diag,k=0)+np.diag(sup_diag,k=1))
28
29 def compute_B_U_coefs(D:np.array,
30                       E:np.array,
31                       W:np.array):
32     return W[0,0]*D[0]*E[0], W[-1,0]*D[-1]*E[-1]
33
34 def compute_B_V_coefs(D:np.array,
35                       E:np.array,
36                       W:np.array,
37                       J:np.array):
38     return J[1]*W[0,0]*D[0]*E[0], -J[-2]*W[-1,0]*D[-1]*E[-1]
39
40 def build_geometry(N:int,
41                   sizes:np.array,
42                   cw=4180.,
43                   rhow=1000.):
44
45     if len(sizes)!=N+2:
46         print('non valid number of given cells sizes')
47     else:
48         D_U = 2*(sizes[:-1] + sizes[1:])**(-1)
49         D_V = cw*rhow*(sizes[:-1] + sizes[1:])**(-1)
50         e = np.zeros((N,2))
51         e[0,0] = 1.
52         e[N-1,1] = 1.
53         return sizes, D_U, D_V, e
54
55 def build_W(C,J):
56     return ((C*J[1:-1])**(-1)).reshape(len(C),1)
57
58 def build_E_V(K:np.array,
59               D:np.array,
60               H:np.array):

```

```

61     return -K*D*(H[1:]-H[:-1])
62
63 def build_B_U(coefs_B_U:np.array,
64               e:np.array,
65               Yb:np.array):
66     return coefs_B_U[0]*Yb[0]*e[:,0] + coefs_B_U[1]*Yb[1]*e[:,1]
67
68 def build_B_V(D:np.array,
69               E:np.array,
70               W:np.array,
71               J:np.array,
72               e:np.array,
73               Yb:np.array):
74     coef0, coef1 = compute_B_V_coefs(D,E,W,J)
75     return coef0*Yb[0]*e[:,0] + coef1*Yb[1]*e[:,1]
76
77 def args_for_F_all(N:int,
78                   sizes:np.array,
79                   C_T:np.array,
80                   C_H:np.array,
81                   Lambda:np.array,
82                   K:np.array):
83
84     J, D_U, D_V, e = build_geometry(N,sizes)
85
86     W_T = build_W(C_T,J)
87     W_H = build_W(C_H,J)
88
89     U_T = compute_U(D_U,Lambda,W_T)
90     U_H = compute_U(D_U,K,W_H)
91
92     coefs_B_U_T = compute_B_U_coefs(D_U,Lambda,W_T)
93     coefs_B_U_H = compute_B_U_coefs(D_U,K,W_H)
94
95     return U_T, U_H, coefs_B_U_T, coefs_B_U_H, D_V, W_T
96
97 def F_all(U_T:np.array,
98           U_H:np.array,
99           coefs_B_U_T:np.array,
100          coefs_B_U_H:np.array,
101          D_U:np.array,
102          D_V:np.array,
103          W_T:np.array,
104          K:np.array,
105          J:np.array,
106          e:np.array,
107          Tb,
108          Hb):
109
110     def f(t,X):
111
112         T = X[:len(K)-1]
113         H = X[len(K)-1:]
114         H_b = Hb(t)
115         forHz = np.concatenate((np.array([H_b[0]]),H,np.array([H_b[1]])))
116
117         E_V_T = build_E_V(K,D_U,forHz)
118
119         V_T = compute_V(D_V,E_V_T,W_T,J)
120
121         B_V_T = build_B_V(D_V,E_V_T,W_T,J,e,Tb(t))
122
123         B_U_T = build_B_U(coefs_B_U_T,e,Tb(t))
124         B_U_H = build_B_U(coefs_B_U_H,e,Hb(t))
125
126         A_T = U_T + V_T
127         B_T = B_U_T + B_V_T

```



```

129     A_H = U_H
130     B_H = B_U_H
131
132     Tdot = np.dot(A_T,T) + B_T
133     Hdot = np.dot(A_H,H) + B_H
134
135     return np.concatenate((Tdot,Hdot))
136
137 return f
138
139 ##ODE
140
141 def RK5coefs(f,
142             y:np.array,
143             t:np.float64,
144             h:np.float64):
145     k = np.empty((len(y),6))
146     k[:,0] = h*f(t,y)
147     k[:,1] = h*f(t+1/4*h,y+1/4*k[:,0])
148     k[:,2] = h*f(t+3/8*h,y+3/32*k[:,0]+9/32*k[:,1])
149     k[:,3] = h*f(t+12/13*h,y+1932/2197*k[:,0]-7200/2197*k[:,1]+7296/2197*k[:,2])
150     k[:,4] = h*f(t+h,y+439/216*k[:,0]-8*k[:,1]+3680/513*k[:,2]-845/4104*k[:,3])
151     k[:,5] = h*f(t+1/2*h,y-8/27*k[:,0]+2*k[:,1]-3544/2565*k[:,2]+1859/4104*k
152    [:,3]-11/40*k[:,4])
153     return k
154
155 def step_scaler(k:np.array,
156               tol:np.float64,
157               RK4_cok:np.array,
158               RK5_cok:np.array):
159     twoN = len(k)
160     s_T = (tol/(2*np.linalg.norm(np.dot(k[:twoN//2,:],RK5_cok-RK4_cok))))**(1/4)
161     s_H = (tol/(2*np.linalg.norm(np.dot(k[twoN//2:,:],RK5_cok-RK4_cok))))**(1/4)
162     return min(s_T,s_H)
163
164 def RKF45(f,
165          y0:np.array,
166          t0:np.float64,
167          tf:np.float64,
168          h:np.float64,
169          tol:np.float64,
170          RK4_cok:np.array,
171          RK5_cok:np.array,
172          RK5_cok_vec:np.array):
173
174     t = t0
175     while t<tf:
176
177         k0 = RK5coefs(f,y0,t,h)
178
179         h = h*step_scaler(k0,tol,RK4_cok,RK5_cok)
180         if t+h>tf:
181             h = tf-t
182         t = t + h
183
184         k1 = RK5coefs(f,y0,t,h)
185         y0 = y0 + np.dot(k1,RK5_cok_vec)
186
187     return y0
188
189 def timefunction(C:np.array,
190               dt:float,
191               t0:float,
192               tf:float):
193     def f(t:float):
194         if t<t0:
195             return C[0]
196         elif t>=tf:

```

```

196         return C[-1]
197     else:
198         n,e = np.divmod(t-t0,dt)
199         n = int(n)
200         return (1-e/dt)*C[n] + e/dt*C[n+1]
201     return f
202
203 def solver(f,
204           y0:np.array,
205           t0:float,
206           tol:float,
207           fsample,
208           times:np.array,
209           h=1,
210           method='RK45'):
211
212     samples = np.empty((len(fsample(y0)),len(times)))
213
214     if method=='RK45':
215         RK4_cok_vec = np.array([25/216,0,1408/2565,2197/4101,-1/5,0],dtype=np.float64
216 )
217         RK5_cok_vec = np.array([16/135,0,6656/12825,28561/56430,-9/50,2/55],dtype=np.
218 float64)
219         RK4_cok = RK4_cok_vec.reshape(6,1)
220         RK5_cok = RK5_cok_vec.reshape(6,1)
221         for i,t in enumerate(times):
222             y1 = RK45(f,y0,t0,t,h,tol,RK4_cok,RK5_cok,RK5_cok_vec)
223             y0 = y1
224             t0 = t
225             samples[:,i] = fsample(y0)
226         return samples
227     else:
228         print('unkown method')
229
230 ##Test
231
232 def build_depths_and_sizes(h,N):
233     l = h/(N+1)
234     sizes = l*np.ones(N+2)
235     Zmeas = np.empty(N)
236     Zmeas[0] = (sizes[0] + sizes[1])/2
237     for i in range(1,N):
238         Zmeas[i] = Zmeas[i-1] + (sizes[i] + sizes[i+1])/2
239     return Zmeas, sizes
240
241 def steady_state_test(t0,tf,Tss,Hss,h,T0,H0,N,K,Lambda,C,S,tol):
242
243     Tb = timefunction(Tss,tf,t0,tf)
244     Hb = timefunction(Hss,tf,t0,tf)
245
246     Zmeas, sizes = build_depths_and_sizes(h,N)
247
248     J, D_U, D_V, e = build_geometry(N,sizes)
249     U_T, U_H, coefs_B_U_T, coefs_B_U_H, D_V, W_T = args_for_F_all(N,sizes,C,S,Lambda,
250 K)
251     f = F_all(U_T,U_H,coefs_B_U_T,coefs_B_U_H,D_U,D_V,W_T,K,J,e,Tb,Hb)
252
253     y0 = np.concatenate((T0,H0))
254     def fsample(y:np.array):
255         return y
256
257     return solver(f,y0,t0,tol,fsample,np.array([tf]),h=tf/10)
258
259 def homogeneous_test(tf,Tss,Hss,h,N,T0,H0,tol,
260                     k_ref=10**(-5),
261                     lambda_ref=3,
262                     c_ref=4*10**(6),
263                     s_ref=0.2,

```

```

261         cw = 4180.,
262         rhow = 1000.,
263         display=False):
264     t0 = 0
265     K = k_ref*np.ones(N+1)
266     Lambda = lambda_ref*np.ones(N+1)
267     C = c_ref*np.ones(N)
268     S = s_ref*np.ones(N)
269
270     result = steady_state_test(t0,tf,np.array([Tss,Tss]),np.array([Hss,Hss]),h,T0,H0,
N,K,Lambda,C,S,tol)
271
272     T_res = result[:N]
273     H_res = result[N:]
274
275     Zmeas, _ = build_depths_and_sizes(h,N)
276
277     H_exact = (Hss[1]-Hss[0])/h*Zmeas+Hss[0]
278
279     gamma = -cw*rhow*k_ref*(Hss[1]-Hss[0])/(h*lambda_ref)
280     alpha = (Tss[0]-Tss[1])/(1-np.exp(gamma*h))
281     beta = (Tss[1]-Tss[0]*np.exp(gamma*h))/(1-np.exp(gamma*h))
282     T_exact = np.exp(gamma*Zmeas)*alpha+beta
283
284     if display:
285         plt.figure()
286         plt.scatter(Zmeas,T_res,label='computed')
287         plt.plot(Zmeas,T_exact,label='exact')
288         plt.xlabel('depth [m]')
289         plt.ylabel('temperature [K]')
290         plt.legend()
291         plt.show()
292
293         plt.figure()
294         plt.scatter(Zmeas,H_res,label='computed')
295         plt.plot(Zmeas,H_exact,label='exact')
296         plt.xlabel('depth [m]')
297         plt.ylabel('hydraulic charge [H]')
298         plt.legend()
299         plt.show()
300     return np.max(abs(T_res.reshape(T_exact.shape)-T_exact)), np.max(abs(H_res.
reshape(H_exact.shape)-H_exact))
301
302 def heterogeneous_test(tf,Tss,Hss,h,N,T0,H0,tol,
303                        kz_ref = 10**(-5),
304                        k_ref = 10**(-5),
305                        lambda_ref=3,
306                        c_ref=4*10**(6),
307                        s_ref=0.2,
308                        cw = 4180.,
309                        rhow = 1000.,
310                        display=False):
311     t0 = 0
312     Zmeas, sizes = build_depths_and_sizes(h,N)
313     ZK = Zmeas-sizes[0]/2
314     ZK = np.concatenate((ZK,np.array([ZK[-1]+sizes[0]/2])))
315     K = kz_ref*ZK + k_ref
316     Lambda = lambda_ref*np.ones(N+1)
317     C = c_ref*np.ones(N)
318     S = s_ref*np.ones(N)
319
320     result = steady_state_test(t0,tf,np.array([Tss,Tss]),np.array([Hss,Hss]),h,T0,H0,
N,K,Lambda,C,S,tol)
321
322     T_res = result[:N]
323     H_res = result[N:]
324
325     fK = lambda z : kz_ref*z + k_ref

```

```

326 fH = lambda z : (Hss[1]-Hss[0])*(np.log(kz_ref*z+k_ref)-np.log(k_ref))/(np.log(
kz_ref*h+k_ref)-np.log(k_ref))+Hss[0]
327 fHz = lambda z : kz_ref*(Hss[1]-Hss[0])/((np.log(kz_ref*h+k_ref)-np.log(k_ref))*(
kz_ref*z+k_ref))
328
329 H_exact = np.vectorize(fH)(Zmeas)
330
331 T_exact = np.empty(N)
332 aux = lambda z : np.exp(-cw*rhow*fK(z)*fHz(z)*z/lambda_ref)
333
334 normalizer = scipy.integrate.quad(aux,0,h)[0]
335 for i,z in enumerate(Zmeas):
336     T_exact[i] = (Tss[1]-Tss[0])*scipy.integrate.quad(aux,0,z)[0]/normalizer+Tss
[0]
337
338 if display:
339
340     plt.figure()
341     plt.scatter(Zmeas,T_res,label='computed')
342     plt.plot(Zmeas,T_exact,label='exact')
343     plt.xlabel('depth [m]')
344     plt.ylabel('temperature [K]')
345     plt.legend()
346     plt.show()
347
348     plt.figure()
349     plt.scatter(Zmeas,H_res,label='computed')
350     plt.plot(Zmeas,H_exact,label='exact')
351     plt.xlabel('depth [m]')
352     plt.ylabel('hydraulic charge [H]')
353     plt.legend()
354     plt.show()
355
356 return np.max(abs(T_res.reshape(T_exact.shape)-T_exact)), np.max(abs(H_res.
reshape(H_exact.shape)-H_exact))
357
358 def bistratified_test(tf,Tss,Hss,h,N,T0,H0,tol,
359                      k1_ref = 10**(-5),
360                      k2_ref = 10**(-7),
361                      lambda_ref=3,
362                      c_ref=4*10**(6),
363                      s_ref=0.2,
364                      cw = 4180.,
365                      rhow = 1000.,
366                      display=False):
367     t0 = 0
368     Zmeas, sizes = build_depths_and_sizes(h,N)
369     ZK = Zmeas-sizes[0]/2
370     ZK = np.concatenate((ZK,np.array([ZK[-1]+sizes[0]/2])))
371     K = np.ones(N+1)
372     K[: (N+1)//2] = k1_ref
373     K[(N+1)//2] = (k1_ref + k2_ref)/2
374     K[(N+1)//2+1:] = k2_ref
375     Lambda = lambda_ref*np.ones(N+1)
376     C = c_ref*np.ones(N)
377     S = s_ref*np.ones(N)
378
379     result = steady_state_test(t0,tf,np.array([Tss,Tss]),np.array([Hss,Hss]),h,T0,H0,
N,K,Lambda,C,S,tol)
380
381     T_res = result[:N]
382     H_res = result[N:]
383
384     if display:
385
386         plt.figure()
387         plt.scatter(Zmeas,T_res,label='computed')
388         plt.xlabel('depth [m]')

```

```

389     plt.ylabel('temperature [K]')
390     plt.legend()
391     plt.show()
392
393     plt.figure()
394     plt.scatter(Zmeas,H_res,label='computed')
395     plt.xlabel('depth [m]')
396     plt.ylabel('hydraulic charge [H]')
397     plt.legend()
398     plt.show()
399
400 def to_test(tf,Tss,Hss,h,N,T0,H0,tol,
401           k_ref=10**(-5),
402           lambda_ref=3,
403           c_ref=4*10**(6),
404           s_ref=0.2,
405           cw = 4180.,
406           rhow = 1000.,
407           display=False):
408     t0 = 0
409     K = k_ref*np.ones(N+1)
410     Lambda = lambda_ref*np.ones(N+1)
411     C = c_ref*np.ones(N)
412     S = s_ref*np.ones(N)
413
414     Tb = timefunction(np.array([Tss,Tss]),tf,t0,tf)
415     Hb = timefunction(np.array([Hss,Hss]),tf,t0,tf)
416
417     y0 = np.concatenate((T0,H0))
418
419     Zmeas, sizes = build_depths_and_sizes(h,N)
420
421     J, D_U, D_V, e = build_geometry(N,sizes)
422     U_T, U_H, coefs_B_U_T, coefs_B_U_H, D_V, W_T = args_for_F_all(N,sizes,C,S,Lambda,
423     K)
424     f = F_all(U_T,U_H,coefs_B_U_T,coefs_B_U_H,D_U,D_V,W_T,K,J,e,Tb,Hb)
425
426     return y0, f
427
428 tf = 1*24*3600
429 Tss = np.array([290.,300.])
430 Hss = np.array([0.05,0.])
431 htot = 0.4
432 N = 22
433 T0 = 295*np.ones(N)
434 H0 = 0.025*np.ones(N)
435 tol = 10**(-1)
436
437 errors_heterogeneous = heterogeneous_test(tf,Tss,Hss,htot,N,T0,H0,tol,display=True)

```

## 4.2.2 MCMC (MCMC\_python.py)

```

1 import numpy as np
2 import matplotlib.pyplot as plt
3
4 ##Elementary functions
5
6 def generate_uncorrelated_multivariate_normal(sigmas:np.array):
7     Y = np.empty(len(sigmas))
8     for i in range(len(sigmas)):
9         Y[i] = np.random.normal(loc=0,scale=sigmas[i])
10    return Y
11
12 def is_valid(D:np.array,
13             Y:np.array):
14    return np.all((D[:,0]<=Y)*(Y<=D[:,1]))
15
16 def energy(X:np.array,

```

```

17         Ymeas:np.array,
18         F,
19         sigma:float):
20
21     if sigma > 0:
22         return np.sum((Ymeas-F(X))**2)/(2*sigma**2)
23     else:
24         sigma = X[-1]
25         logsigma = len(Ymeas)*np.log(X[-1])
26         return np.sum((Ymeas-F(X[:-1]))**2)/(2*sigma**2)+logsigma
27
28 def acceptancy(X0:np.array,
29               X1:np.array,
30               D:np.array,
31               Ymeas:np.array,
32               F,
33               sigma:float):
34
35     if is_valid(D,X1):
36
37         eX0 = energy(X0,Ymeas,F,sigma)
38         eX1 = energy(X1,Ymeas,F,sigma)
39
40         if eX1<=eX0:
41             return 1
42         else:
43             return np.exp(eX0-eX1)
44
45     return 0
46
47 ##DREAMS
48
49 def walk(Xall,D,Ymeas,sigma,F,nb_iter,pi,cn,c,Psize,gamma=2.38/(2)**(0.5)):
50
51     past = np.empty((nb_iter,len(Xall)*len(Xall[0])))
52
53     indices = make_indices(len(Xall[0]),pi)
54     alpha = make_alpha(cn)
55     beta = make_beta(c,Psize,gamma)
56     pairs = make_pairs(len(Xall),Psize)
57
58     for i in range(nb_iter):
59
60         chain_id = i%len(Xall)
61         Xp = propose(Xall,chain_id,D,Ymeas,F,alpha,beta,indices,pairs)
62         p_accept = acceptancy(Xall[chain_id],Xp,D,Ymeas,F,sigma)
63
64         if (np.random.random()<p_accept):
65             Xall[chain_id] = Xp
66             past[i,:] = Xall.reshape(len(Xall)*len(Xall[0]))
67         else:
68             past[i,:] = Xall.reshape(len(Xall)*len(Xall[0]))
69
70     return past
71
72 def propose(Xall,chain_id,D,Ymeas,F,alpha,beta,indices,pairs):
73
74     I = indices()
75     a = alpha(len(I))
76     b = beta(len(I))
77     P = pairs(chain_id)
78     SP = pairs_sum(Xall,P)
79
80     dX = np.zeros(len(Xall[chain_id]))
81
82     for i,index in enumerate(I):
83
84         dX[index] = a[i] + b[i]*SP[index]

```

```

85
86     Xp = D[:,0] + np.mod(Xall[chain_id] + dX - D[:,0],D[:,1]-D[:,0])
87
88     return Xp
89
90 def make_indices(d,pi):
91
92     def indices():
93
94         sizes = np.random.multinomial(1,pi)
95
96         for size in range(len(pi)):
97             if sizes[size]==1:
98                 m = (size+1)/len(pi)
99                 break
100
101         I = []
102         for i in range(len(pi)):
103             if np.random.random()<m:
104                 I.append(i)
105         if I == []:
106             I.append(int(np.random.random()*len(pi)))
107
108         return np.array(I)
109
110     return indices
111
112 def make_alpha(cn):
113
114     def alpha(Isize):
115         return np.random.normal(loc=0,scale=cn,size=Isize)
116
117     return alpha
118
119 def make_beta(c,Psize,gamma):
120
121     def beta(Isize):
122
123         inf = (1-c)*gamma/(Psize*Isize)**(0.5)
124         sup = (1+c)*gamma/(Psize*Isize)**(0.5)
125
126         return np.random.uniform(low=inf,high=sup,size=Isize)
127
128     return beta
129
130 def make_pairs(N,nb_pairs):
131
132     tab = np.empty((N*(N-1)//2,2))
133     for i in range(N):
134         for j in range(i):
135             tab[i*(i-1)//2+j] = np.array([i, j])
136
137     def pairs(id_chain):
138
139         choices = np.random.randint(0,(N-1)*(N-2)//2,size=nb_pairs)
140
141         couples = np.empty((nb_pairs,2))
142
143         for i in range(nb_pairs):
144
145             a,b = tab[choices[i]]
146
147             if a >= id_chain:
148                 a = a + 1
149             if b >= id_chain:
150                 b = b + 1
151
152             if np.random.random()<0.5:

```

```

153         couples[i,0] = a
154         couples[i,1] = b
155
156     else:
157         couples[i,0] = b
158         couples[i,1] = a
159
160     return couples
161
162     return pairs
163
164 def pairs_sum(Xall,P):
165     S = np.zeros(len(Xall[0]))
166
167     for p in range(len(P)):
168
169         S = S + Xall[int(P[p,0])] - Xall[int(P[p,1])]
170
171     return S
172
173 def init(D):
174     X = np.empty(len(D))
175     for i in range(len(D)):
176         X[i] = np.random.uniform(D[i][0],D[i][1])
177     return X
178
179 ##Test
180
181 F = lambda x : x**2
182 D = np.array([[-2,2]])
183 sigma = 0.1
184 Ymeas = np.array([1]) + np.random.normal(loc=0,scale=sigma,size=1)
185
186 N = 30
187 cn = 0.01
188 c = 0.1
189 Psize = 10
190 pi = np.ones(1)
191 Xall = np.array([init(D) for _ in range(N)])
192 nb_iter = 1000
193
194 past = walk(Xall,D,Ymeas,sigma,F,nb_iter,pi,cn,c,Psize)
195
196 past = past.reshape((nb_iter*N))
197
198 plt.hist(past,bins=100,density=True)
199 plt.axvline(x=1,color='red',label='expected solutions')
200 plt.axvline(x=-1,color='red')
201 plt.xlabel('x')
202 plt.ylabel('density')
203 plt.legend()
204 plt.show()

```